

บทที่ 5

ผลการทดลองและการอภิปรายผล

5.1 ผลการตรวจสอบหน้าตัดยางชั้นในของล้อยางตันตัวอย่างขนาดใช้งานจริงที่ทดลองผลิตในโรงงาน

การตรวจสอบหน้าตัดยางชั้นในของล้อยางตันที่ทดลองผลิตในโรงงานมีวัตถุประสงค์หลักเพื่อตรวจสอบความคงรูปและสมมาตรของหน้าตัดยางชั้นในของล้อยางตันที่ทดลองผลิตแต่ละวิธีการผลิต ที่คิดค้นวิธีการม้วนขึ้นรูปล้อยางวิธีใหม่ในงานวิจัยนี้ เพื่อตรวจสอบว่าสามารถปรับปรุงให้ยางชั้นในของล้อยางตันมีความคงรูปขึ้นหรือไม่

รายละเอียดของวิธีการที่ใช้ในการควบคุมยางชั้นในมีดังนี้

- วิธีการที่ 1 คือ ล้อยางตันที่ควบคุมการม้วนยางชั้นในด้วยเครื่องม้วนแบบเก่า
- วิธีการที่ 2 คือ ล้อยางตันที่ควบคุมการม้วนยางชั้นในด้วยเครื่องม้วนที่ออกแบบและสร้างใหม่

- วิธีการที่ 3 ล้อยางตันที่ควบคุมการม้วนยางชั้นในด้วยเครื่องม้วนที่สร้างขึ้นใหม่ แล้วอัดเย็นยางชั้นในด้วยแม่พิมพ์ก่อนเรียกว่าวิธีการพรีฟอร์ม (pre-form) ก่อนการนำไปพันกับยางนอกแล้วนำไปป้อนให้ยางสุกพร้อมกัน วิธีการนี้มีส่วนคล้ายกับการทำพรีเคียว (pre-cure)

- วิธีการที่ 4 ล้อยางตันที่ควบคุมการม้วนยางชั้นในด้วยเครื่องม้วนที่สร้างขึ้นใหม่ แล้วอัดร้อนยางชั้นในเป็นการอบกึ่งสุกด้วยแม่พิมพ์ก่อนเรียกว่าวิธีการพรีเคียว (pre-cure) ก่อนนำไปพันกับยางนอกแล้วนำไปป้อนให้ยางสุกพร้อมกัน

เมื่อนำล้อยางตันมาตัดเพื่อตรวจสอบความสมมาตรของยางชั้นใน สามารถแสดงหน้าตัดของล้อยางตันในรูปที่ 5.1



รูปที่ 5.1 แสดงตัวอย่างหน้าตัดของล้อยางตัน

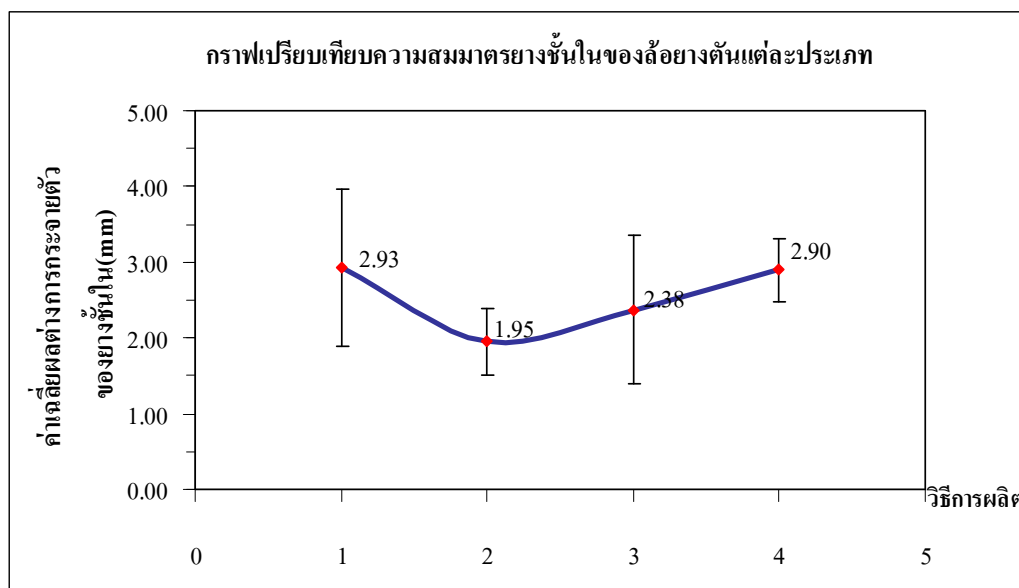
5.1.1 ผลการตรวจสอบความสมมาตรของหน้าตัดยางชั้นในของล้อยางตัวอย่างขนาดใช้งานจริงที่ทดลองผลิตในโรงงาน

ตารางที่ 5.1 เป็นตารางสรุปความคงรูปในค่าของความต่างระหว่างด้านซ้ายและด้านขวาของหน้าตัดยางในที่หน้าตัดต่างๆ และความเบี่ยงเบนมาตรฐานของแต่ละวิธีการ

ตารางที่ 5.1 แสดงค่าเฉลี่ยของผลต่างและส่วนเบี่ยงเบนมาตรฐานของล้อยางในแต่ละวิธีการ

วิธีการผลิตที่	1	2	3	4
หน้าตัดตำแหน่งที่ 1 (mm)	1.6	1.7	1.5	2.8
หน้าตัดตำแหน่งที่ 3 (mm)	4.0	2.6	1.8	3.0
หน้าตัดตำแหน่งที่ 5 (mm)	2.7	1.8	3.7	2.4
หน้าตัดตำแหน่งที่ 7 (mm)	3.4	1.7	2.5	3.4
ค่าเฉลี่ยของผลต่าง (mm)	2.93	1.95	2.38	2.90
ส่วนเบี่ยงเบนมาตรฐาน	1.03	0.44	0.98	0.42

รูปที่ 5.2 เป็นการนำค่าเฉลี่ยของผลต่างมาเสนอเป็นกราฟโดยแกนนอนบอกถึงวิธีการผลิตตามลำดับ ส่วนแกนตั้งบอกระดับความสมมาตรด้านซ้ายและขวาในเชิงค่าเฉลี่ยผลต่าง



รูปที่ 5.2 ผลของวิธีการผลิตต่อความสมมาตรของยางชั้นในของล้อยางตัน

จากผลการทดสอบความสมมาตรในตารางที่ 5.1 และรูปที่ 5.2 พบว่าลักษณะผลิตด้วยการผลิตด้วยเครื่องม้วนแบบใหม่ มีความสมมาตรของหน้าตัดคึกกว่าการผลิตด้วยเครื่องม้วนแบบเก่า โดยพิจารณาได้จากค่าเฉลี่ยของผลต่างของระยะจากจุดอ้างอิงในแต่ละองค์ประกอบหน้าตัดของลักษณะตัน และค่าเบี่ยงเบนมาตรฐานมีค่าต่ำ แต่วิธีการผลิตที่ทำพรีฟอร์ม (Pre-form) และทำพรีเคียว (Pre-cure) ยังชี้นิยมีความยุ่งยากในการผลิตมากขึ้น

5.1.2 ผลการทดสอบความแข็งแรงในการยึดติดระหว่างยางชั้นในและยางชั้นนอก
ตารางที่ 5.2 เป็นตารางเป็นตารางบันทึกผลการทดสอบแรงดึงของการยึดติดกันระหว่างยางชั้นนอกกับยางชั้นในและแสดงผลการคำนวณหาพื้นที่ของรอยต่อ

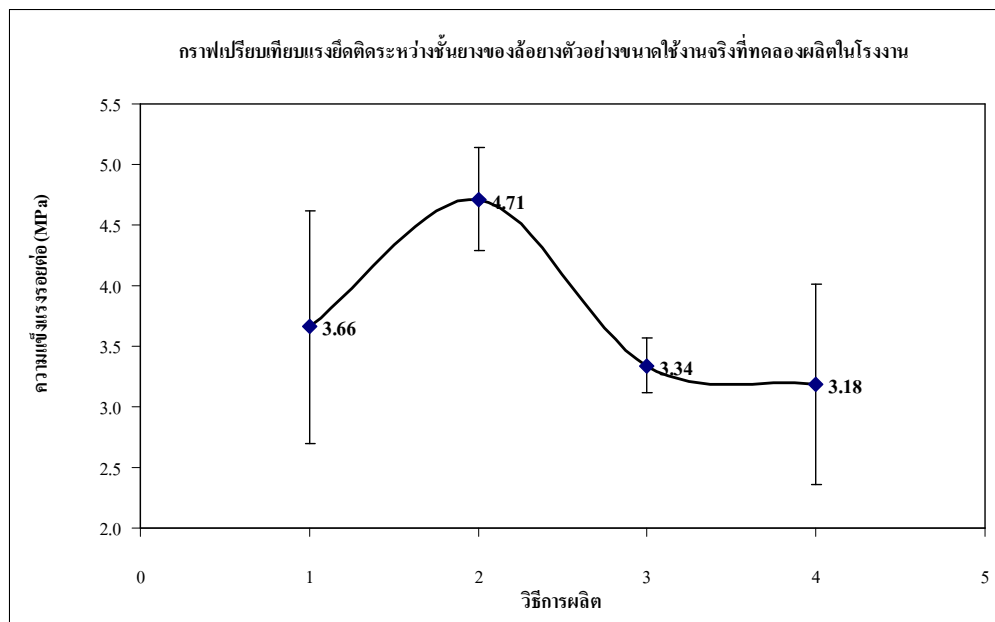
ตารางที่ 5.2 ตารางบันทึกผลการทดสอบแรงดึงและการคำนวณหาพื้นที่

หมายเลข	ความกว้าง (มม.)	ความหนา รอยต่อ(มม.)	พื้นที่รอยต่อ (มม. ²)	แรงดึงขาด (นิวตัน)	ความแข็งแรงรอยต่อ (เมกะปาสกาล)
1-1-4	40.85	9.30	379.91	1365.74	3.595
2-1-2	41.33	8.55	353.33	1720.90	4.871
3-1-4	39.65	10.20	404.43	1290.67	3.191
4-1-2	40.15	9.10	365.37	1106.49	3.028
1-2-2	39.70	9.08	360.28	1360.87	3.777
2-2-4	39.03	8.95	349.27	1665.99	4.770
3-2-2	39.90	11.00	438.90	1461.65	3.330
4-2-2	40.78	10.90	444.45	1467.91	3.303
1-3-2	31.20	10.85	338.52	1495.71	4.418
2-3-2	31.25	10.05	314.06	1539.49	4.902
3-3-2	40.00	10.13	405.00	1242.02	3.067
4-3-2	39.78	10.58	420.62	1047.41	2.490
1-5-2	40.08	9.05	362.68	1606.22	4.429
2-5-2	39.93	9.25	369.31	1468.60	3.977
3-5-2	40.80	10.43	425.34	1501.96	3.531

ตารางที่ 5.2 ตารางบันทึกผลการทดสอบแรงดึงและการคำนวณหาพื้นที่ (ต่อ)

หมายเลข	ความกว้าง (มม.)	ความหนา รอยต่อ(มม.)	พื้นที่รอยต่อ (มม. ²)	แรงดึงขาด (นิวตัน)	ความแข็งแรงรอยต่อ (เมกะปัลสกาล)
4-5-2	31.93	9.80	312.87	799.29	2.555
1-7-2	40.18	7.30	293.28	610.93	2.083
2-7-4	32.45	7.63	247.43	1248.28	5.045
3-7-2	39.38	10.03	394.73	1417.86	3.592
4-7-2	30.68	8.68	266.11	1205.88	4.532

หมายเหตุ : หมายเลขอ 1-1-4 มีความหมายดังนี้
 เลข 1 (ตัวที่1) คือ ล้อที่ 1 ใช้เครื่องม้วนยางแบบเก่า
 เลข 1 (ตัวที่2) คือ ตำแหน่งหน้าตัดที่ 1
 เลข 4 (ตัวที่3) คือ จำนวนครั้งที่ตัดชิ้นงาน (ชิ้นทดลอง 1 ชิ้น อาจจะต้องตัดหลายครั้ง)
 ตารางที่ 5.2 แสดงค่าความแข็งแรงในการยึดติดสูงสุดระหว่างยางชั้นในและยางชั้นนอกตามล้อที่ผลิตด้วยวิธีการต่างกัน



รูปที่ 5.3 ความแข็งแรงขึ้นติดของแต่ละวิธีการผลิต

จากรูปที่ 5.3 แสดงความแข็งแรงยึดติดในรูปของกราฟ แกนนอนเป็นล้อที่ 1 ล้อที่ 2 ล้อที่ 3 และล้อที่ 4 ตามลำดับ แกนตั้งเป็นความแข็งแรงในการยึดติดเฉลี่ย เมื่อพิจารณาผลการทดสอบแรงดึงเพื่อเปรียบเทียบความแข็งแรงบริเวณผิวสัมผัสระหว่างยางชั้นนอกและชั้นใน จากข้อมูลพบว่าล้อที่ 2 มีความแข็งแรงที่รอยต่อระหว่างยางชั้นในกับยางชั้นนอกคึกคักกว่าล้อประเภทอื่นๆ ซึ่งเป็นผลมาจากการม้วนยางที่ใช้เครื่องม้วนยางแบบใหม่ ที่มีการทำให้การม้วนยางแต่ละชั้นแบบสนิทโดยไม่มีเกิดช่องว่างระหว่างชั้นของยางที่ส่งผลให้เกิดการหลุดของยางที่ไม่สม่ำเสมอ และผิดรูป

จากการที่ได้ทำการทดลองผลิตล้อยางตันด้วยวิธีการผลิตทั้ง 4 วิธีการและนำล้อยางมาทำการทดสอบสามารถสรุปได้ว่า การผลิตล้อยางด้วยเครื่องม้วนแบบใหม่ ที่ได้มีการคิดค้นขึ้นนั้นทำให้ล้อยางตันมีความสม่ำเสมอและคงรูปของยางชั้นในมากขึ้นกว่าวิธีการผลิตด้วยเครื่องม้วนแบบเก่า

5.2 ผลการทดสอบความกลมล้อยางตัน

การทดสอบความกลมของล้อยางตันมีวัตถุประสงค์เพื่อตรวจสอบคุณภาพของล้อยางตัน เพราะความกลมของล้อยางเกี่ยวข้องกับคุณภาพของล้อยางโดยตรง ล้อยางตันที่ขาดความกลมเมื่อล้อยางหมุนจะทำให้เกิดการหมุนที่ไม่สมดุลและเกิดการกระดอนเมื่อล้อยางกลิ้งไปบนพื้น จะส่งผลทำให้เกิดการสั่นสะเทือน การทดสอบความกลมของล้อยางตันในงานวิจัยนี้จะใช้เทคนิคการวัดแบบสัมผัสเชิงกล (Mechanical contact measurement methods) โดยการทดสอบความกลมของล้อยางตันมีขั้นตอนและผลการทดสอบดังนี้

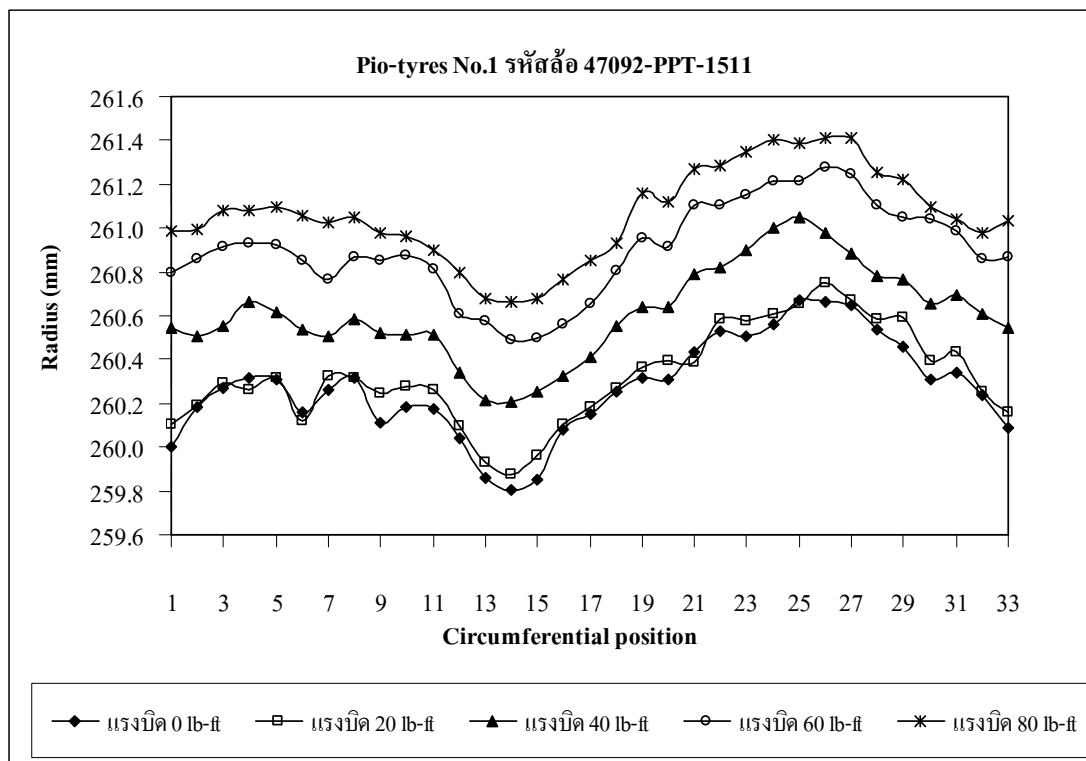
ในการทดสอบความกลมของล้อยางตัน มีล้อยางตัวอย่างที่ใช้ในการทดสอบจำนวน 23 เส้น ซึ่งมีความแตกต่างกัน ในส่วนของวิธีการผลิตและขั้นตอนที่ทำกัน คือ ขนาด 6.00-9 rim 4 ทำการวัดรัศมีของล้อยางตัน และบันทึกข้อมูลความสัมพันธ์ระหว่างแรงที่ใช้ในการขันบีบกระทะล้อที่ค่าต่างๆกัน คือ 0 lb-ft, 20 lb-ft, 40 lb-ft, 60 lb-ft และ 80 lb-ft กับค่ารัศมีของล้อยางตันที่เปลี่ยนแปลงไปตามแนวเส้นรอบวงและจะนำข้อมูลที่ได้จากการทดสอบมาเสนอในรูปแบบต่างๆดังนี้

- นำข้อมูลความกลมของล้อยางที่แรงบีบกระทะล้อที่ค่าต่าง ๆ มาแสดงในรูปของกราฟ
- นำข้อมูลความกลมของล้อยางที่แรงบีบกระทะล้อที่ค่าต่างๆมาหาค่าเบี่ยงเบนมาตรฐาน (Standard deviation)

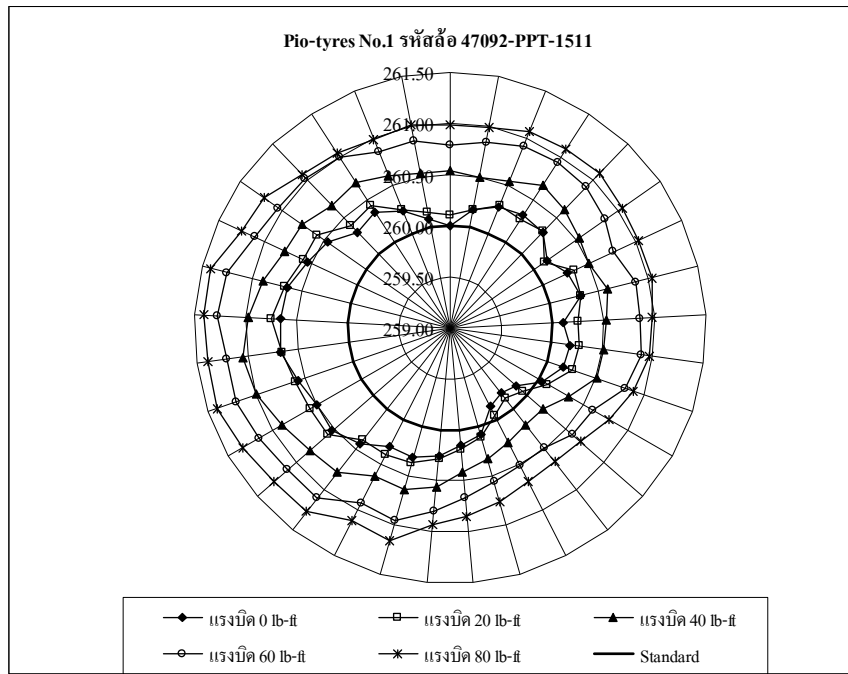
- นำค่าเบี่ยงเบนมาตรฐาน (Standard deviation) ของค่ารัศมีล้อยางตันที่แรงขันบีบค่าต่างๆ มาแสดงในรูปกราฟ

5.2.1 การตรวจสอบความกลมของล้อยางที่ผลิตด้วยวิธีการที่ 1 (ใช้เครื่องม้วนยางแบบเก่า)

รูปที่ 5.4-5.6 เป็นข้อมูลของความกลมในรูปของรัศมีของล้อยางที่ผลิตด้วยวิธีการที่ 1 ที่จุดต่างๆ ตามแนวเส้นรอบวงล้อและแรงขันบีบ (Clamping force) กระталล้อที่ค่าต่างๆ จำนวน 3 เส้น ตามลำดับ โดยวัดด้วยเครื่องทดสอบความกลมของล้อยางที่ใช้ลูกกลิ้งช่วยวัดตามที่ได้กล่าวมาแล้วในหัวข้อ 4.1.42



รูปที่ 5.4 ก.) ความกลมของล้อยาง Pio-tyres 6.00-9 Rim 4 ล้อที่ 1 ผลิตด้วยวิธีการที่ 1 ที่แรงบีบขันกระталล้อต่างๆ

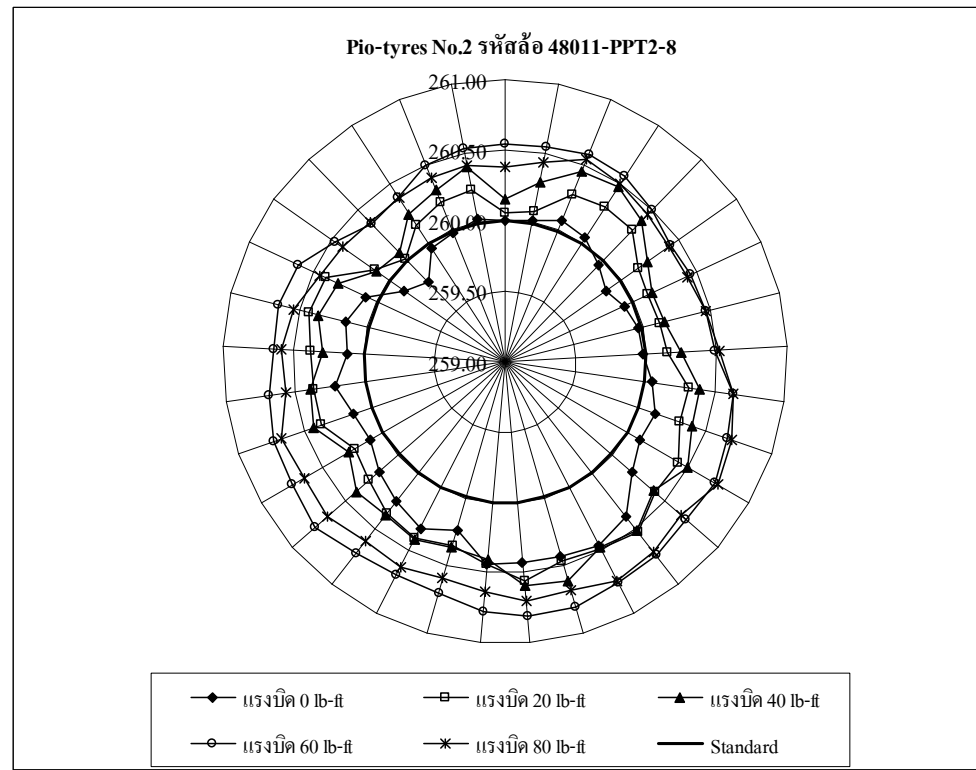
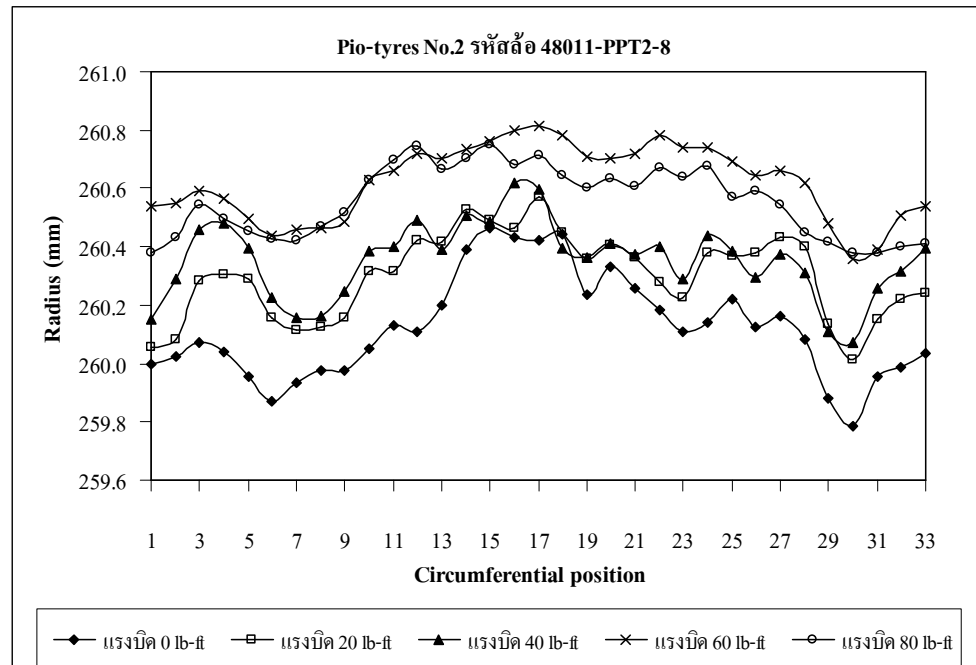


รูปที่ 5.4 ข.) ความกลมของล้อยาง Pio-tyres 6.00-9 Rim 4 ล้อที่ 1 ผลิตด้วยวิธีการที่ 1 ที่แรงบีบ ขันกระทะล้อต่างๆ

สำหรับตารางที่ 5.3-5.5 เป็นการสรุปค่าต่างๆจากการวัดความกลมของล้อยางตันที่ผลิตด้วยวิธีการที่ 1

ตารางที่ 5.3 ค่าเบี่ยงเบนความกลมของล้อยาง Pio-tyres 6.00-9 Rim 4 ล้อที่ 1 ผลิตด้วยวิธีการที่ 1 ที่แรงบีบขันกระทะล้อต่างๆ

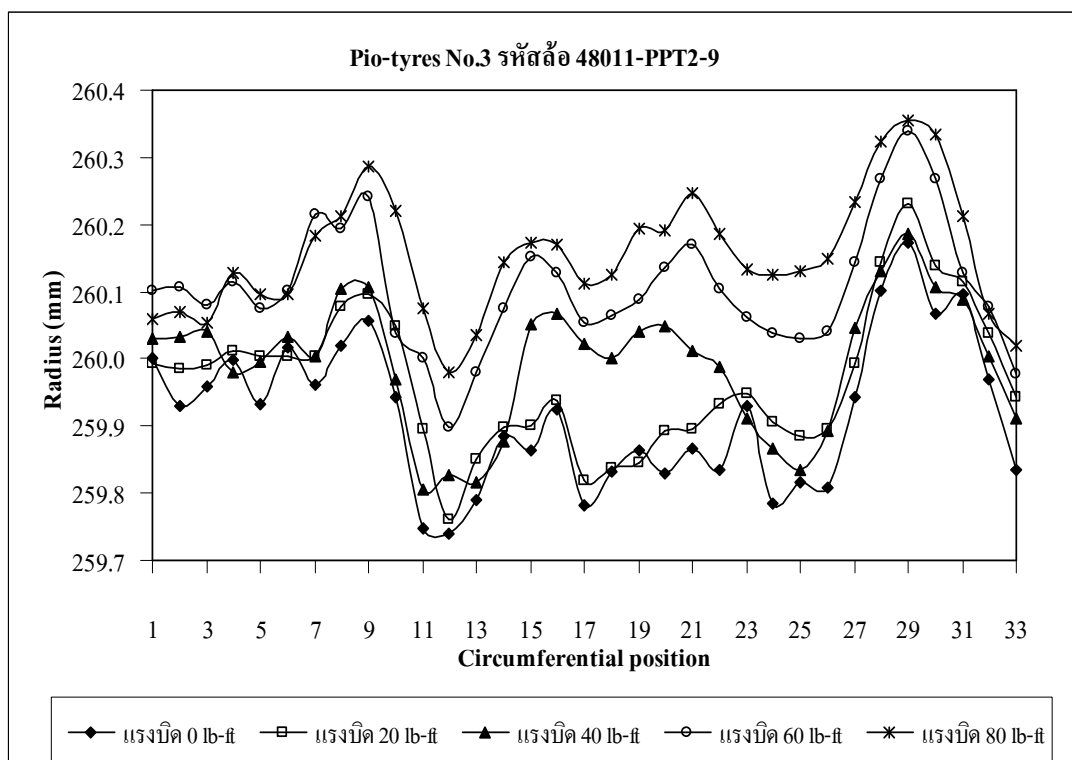
Clamping Force	Max(mm)	Min(mm)	Avg(mm)	SD.
Not-clamping	260.671	259.803	260.26976	0.226586
20 ft-lb	260.753	259.872	260.31982	0.220737
40 ft-lb	261.052	260.203	260.60897	0.216039
60 ft-lb	261.275	260.486	260.90052	0.213805
80 ft-lb	261.41	260.664	261.06006	0.213204



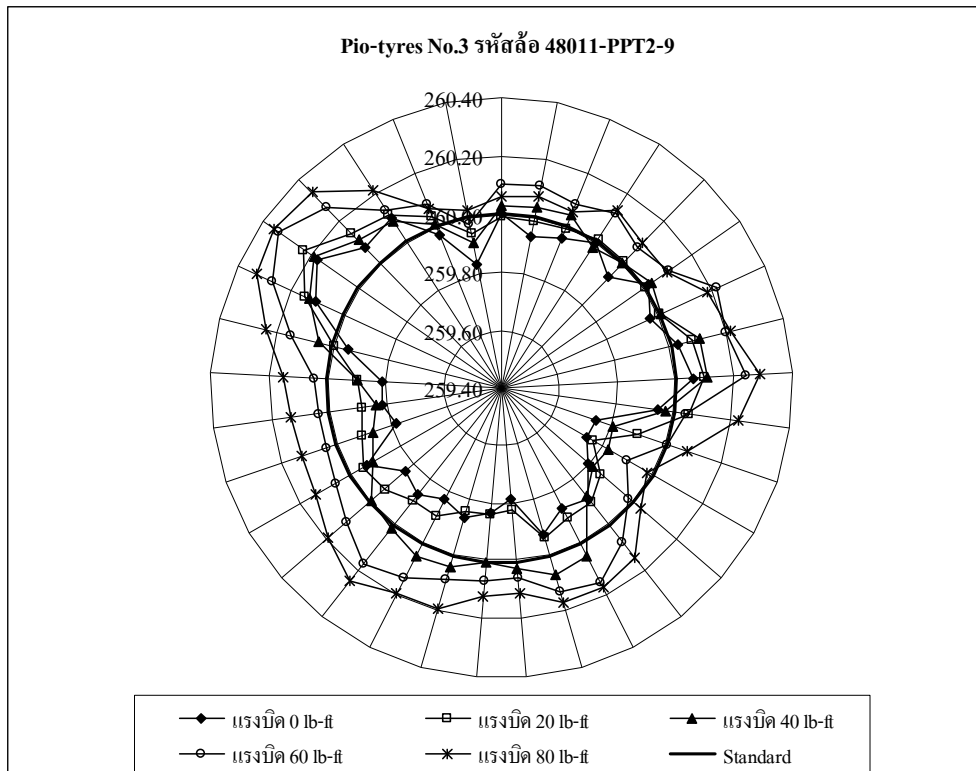
รูปที่ 5.5 ความกลมของล้อยาง Pio-tyres 6.00-9 Rim 4 ล้อที่ 2 ผลิตด้วยวิธีการที่ 1 ที่แรงบิดขันกระยะล้อต่างๆ

ตารางที่ 5.4 ค่าเบี่ยงเบนความกลมของล้อยาง Pio-tyres 6.00-9 Rim 4 ล้อที่ 2 ที่ผลิตด้วยวิธีการที่ 1
ที่แรงบีบขันกระดาษล้อต่างๆ

Clamping Force	Max(mm)	Min(mm)	Avg(mm)	SD.
Not-clamping	260.463	259.788	260.12036	0.17681908
20 ft-lb	260.568	260.014	260.30009	0.14377225
40 ft-lb	260.62	260.073	260.35261	0.13105269
60 ft-lb	260.815	260.356	260.62027	0.12843609
80 ft-lb	260.75	260.377	260.55588	0.12087151



รูปที่ 5.6 ก.) ความกลมของล้อยาง Pio-tyres 6.00-9 Rim 4 ล้อที่ 3 ผลิตด้วยวิธีการที่ 1 ที่แรงบีบขันกระดาษล้อต่างๆ



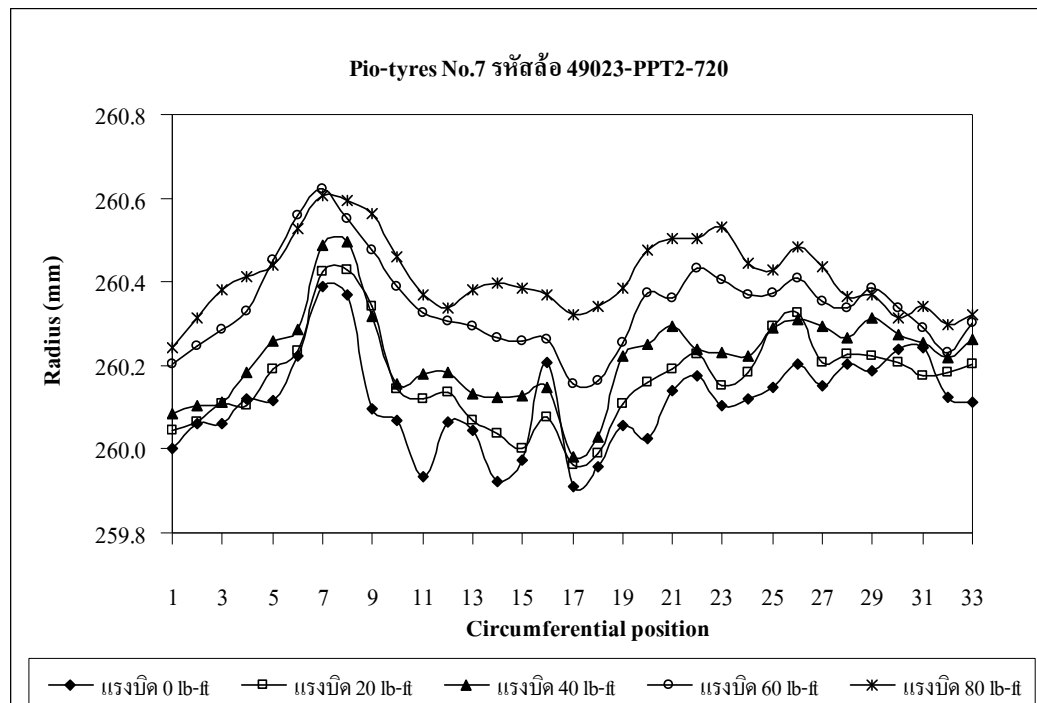
รูปที่ 5.6 ข.) ความกลมของล้อยาง Pio-tyres 6.00-9 Rim 4 ล้อที่ 3 ผลิตด้วยวิธีการที่ 1 ที่แรงบีบขัน
กระทะล้อต่างๆ

ตารางที่ 5.5 ค่าเบี่ยงเบนความกลมของล้อยาง Pio-tyres 6.00-9 Rim 4 ล้อที่ 3 ผลิตด้วยวิธีการที่ 1
ที่แรงบีบขันกระทะล้อต่างๆ

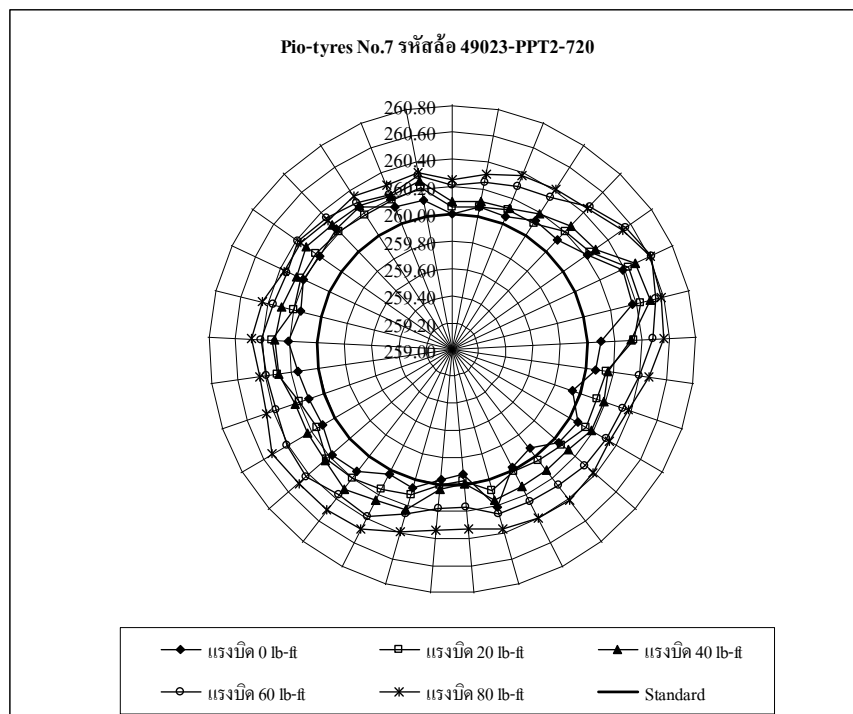
Clamping Force	Max(mm)	Min(mm)	Avg(mm)	SD.
Not-clamping	260.173	259.739	259.918273	0.11016019
20 ft-lb	260.23	259.76	259.967152	0.10519925
40 ft-lb	260.185	259.806	259.994848	0.09697168
60 ft-lb	260.338	259.898	260.105758	0.091964
80 ft-lb	260.356	259.98	260.155303	0.09098712

5.2.2 การตรวจสอบความกลมของล้อยางที่ผลิตด้วยวิธีการที่ 2 (ใช้เครื่องม้วนยางแบบใหม่)

รูปที่ 5.7-5.8 เป็นข้อมูลของความกลมในรูปของรัศมีของล้อยางที่ผลิตด้วยวิธีการที่ 2 ที่จุดต่างๆตามแนวเส้นรอบวงล้อ และแรงขันบีบ (Clamping force) กระทะล้อที่ค่าต่างๆจำนวน 2 เส้น ตามลำดับ โดยวัดด้วยเครื่องทดสอบความกลมของล้อยางที่ใช้ลูกกลิ้งช่วยวัดตามที่ได้กล่าวมาแล้วในหัวข้อ 4.1.42



รูปที่ 5.7 ก.) ความกลมของล้อยาง Pio-tyres 6.00-9 Rim 4 ล้อที่ 7 ผลิตด้วยวิธีการที่ 2 ที่แรงบีบขันกระทะล้อต่างๆ

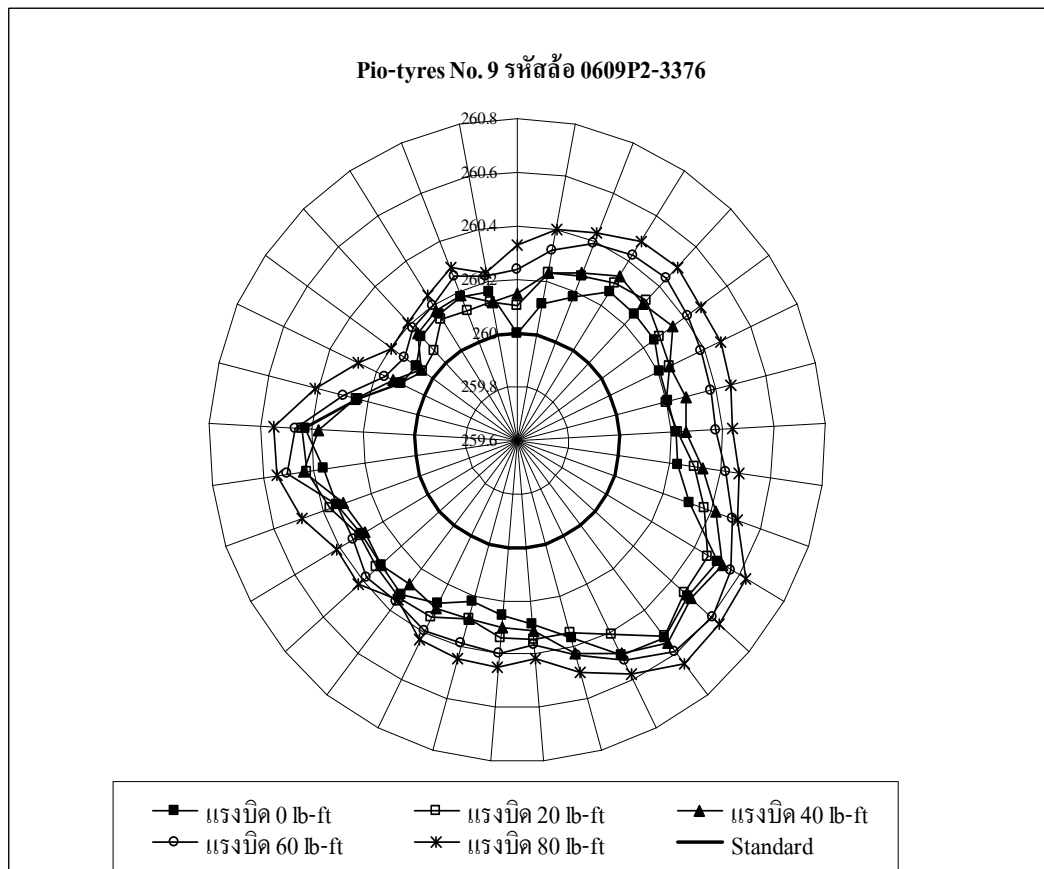
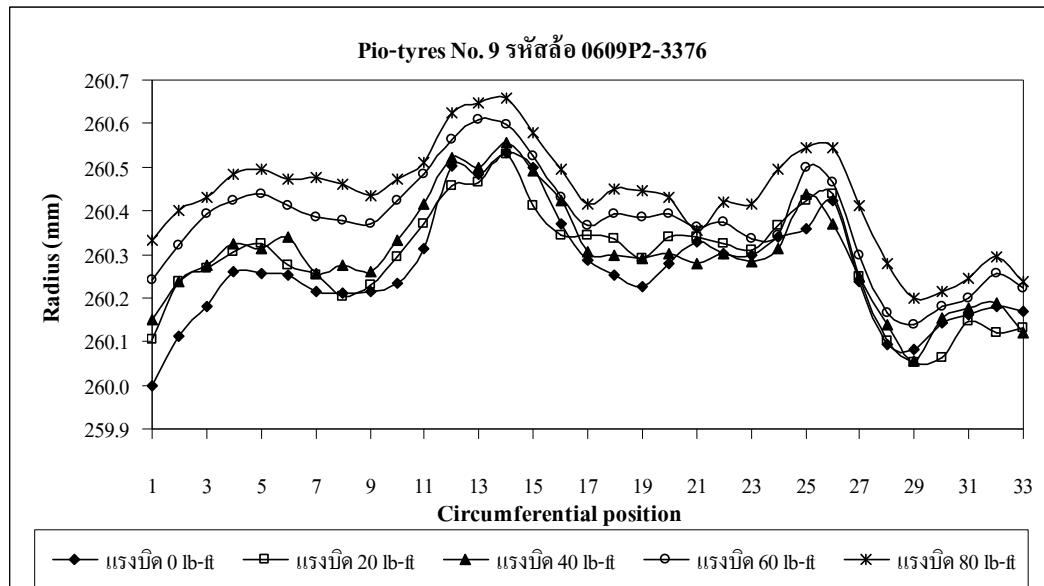


รูปที่ 5.7 ข.) ความกลมของล้อยาง Pio-tyres 6.00-9 Rim 4 ล้อที่ 7 ผลิตด้วยวิธีการที่ 2 ที่แรงบีบขันกระทะล้อต่างๆ

สำหรับตารางที่ 5.6-5.7 เป็นการสรุปค่าต่างๆจากการวัดความกลมของล้อยางต้นที่ผลิตด้วยวิธีการที่ 2

ตารางที่ 5.6 ค่าเบี่ยงเบนความกลมของล้อยาง Pio-tyres 6.00-9 Rim 4 ล้อที่ 7 ผลิตด้วยวิธีการที่ 2
ที่แรงขันบีบกระทะล้อต่างๆ

Clamping Force	Max(mm)	Min(mm)	Avg(mm)	SD.
Not-clamping	260.389	259.912	260.113	0.11398984
20 ft-lb	260.43	259.962	260.168	0.11226747
40 ft-lb	260.494	259.981	260.222	0.10883689
60 ft-lb	260.623	260.156	260.344	0.10754567
80 ft-lb	260.607	260.242	260.413	0.08951028



รูปที่ 5.8 ความกลมของล้อยาง Pio-tyres 6.00-9 Rim 4 สล็อตที่ 9 ผลิตด้วยวิธีการที่ 2 ที่เร่งนีบขัน
กระทะลือต่างๆ

ตารางที่ 5.7 ค่าเบี่ยงเบนความกลมของล้อยาง Pio-tyres 6.00-9 Rim 4 ล้อที่ 9 ผลิตด้วยวิธีการที่ 2
ที่แรงขันบีบกระทะล้อต่างๆ

Clamping Force	Max(mm)	Min(mm)	Avg(mm)	SD.
Not-clamping	260.534	260.000	260.267	0.125699296
20 ft-lb	260.531	260.053	260.286	0.121470449
40 ft-lb	260.556	260.057	260.301	0.118359233
60 ft-lb	260.609	260.137	260.375	0.118156928
80 ft-lb	260.659	260.199	260.435	0.117521603

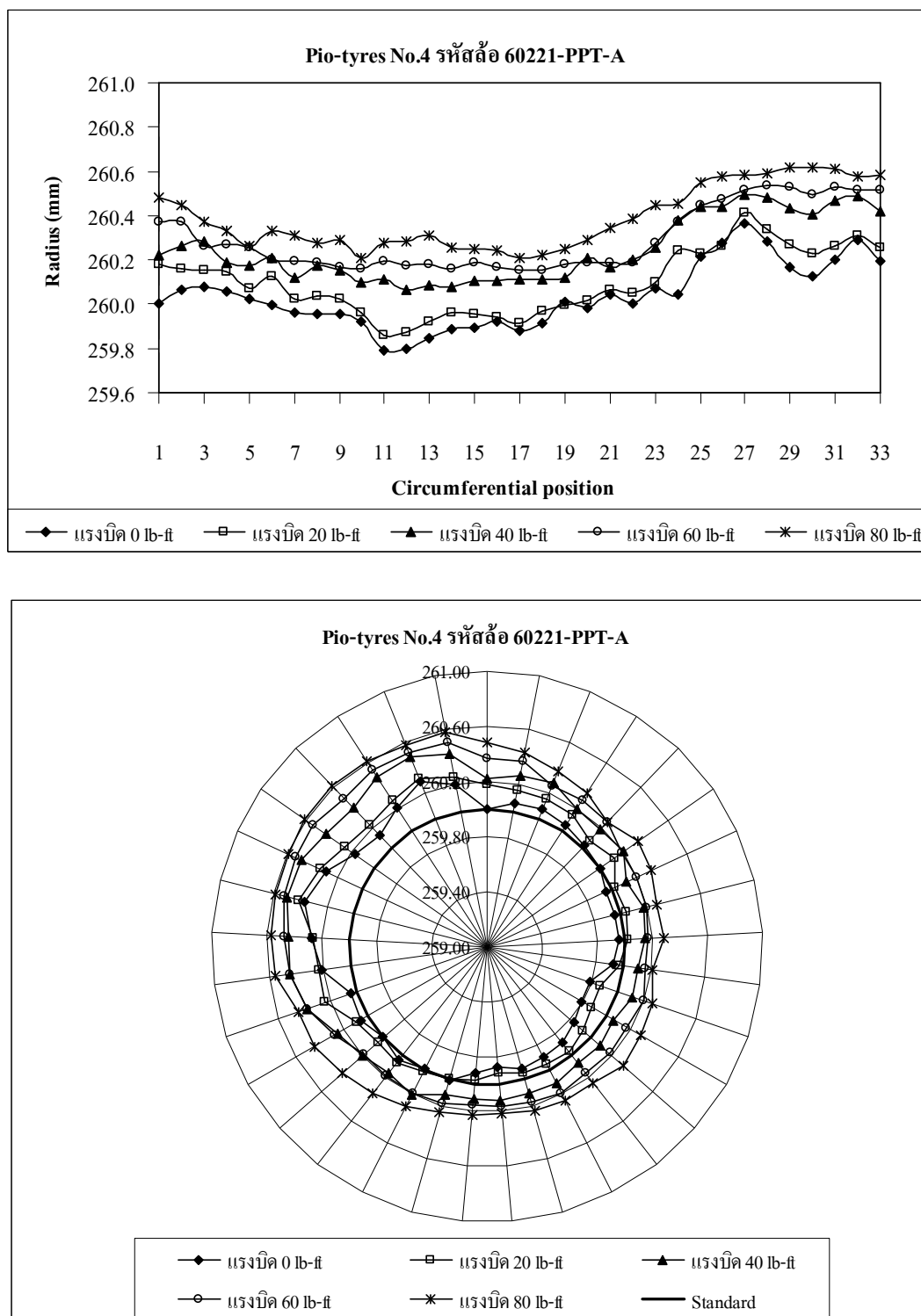
5.2.3 ผลการตรวจสอบความกลมของล้อยางที่ผลิตด้วยวิธีการที่ 3 (ใช้เครื่องม้วนยางแบบใหม่ + พรีฟอร์ม)

รูปที่ 5.9-5.10 เป็นข้อมูลของความกลมในรูปของรัศมีของล้อยางที่ผลิตด้วยวิธีการที่ 3 ที่จุดต่างๆตามแนวเส้นรอบวงล้อ และแรงขันบีบ (Clamping force) กระทะล้อที่ค่าต่างๆจำนวน 2 เส้น ตามลำดับ โดยวัดด้วยเครื่องทดสอบความกลมของล้อยางที่ใช้ลูกกลิ้งช่วยวัดตามที่ได้กล่าวมาแล้วในหัวข้อ 4.1.42

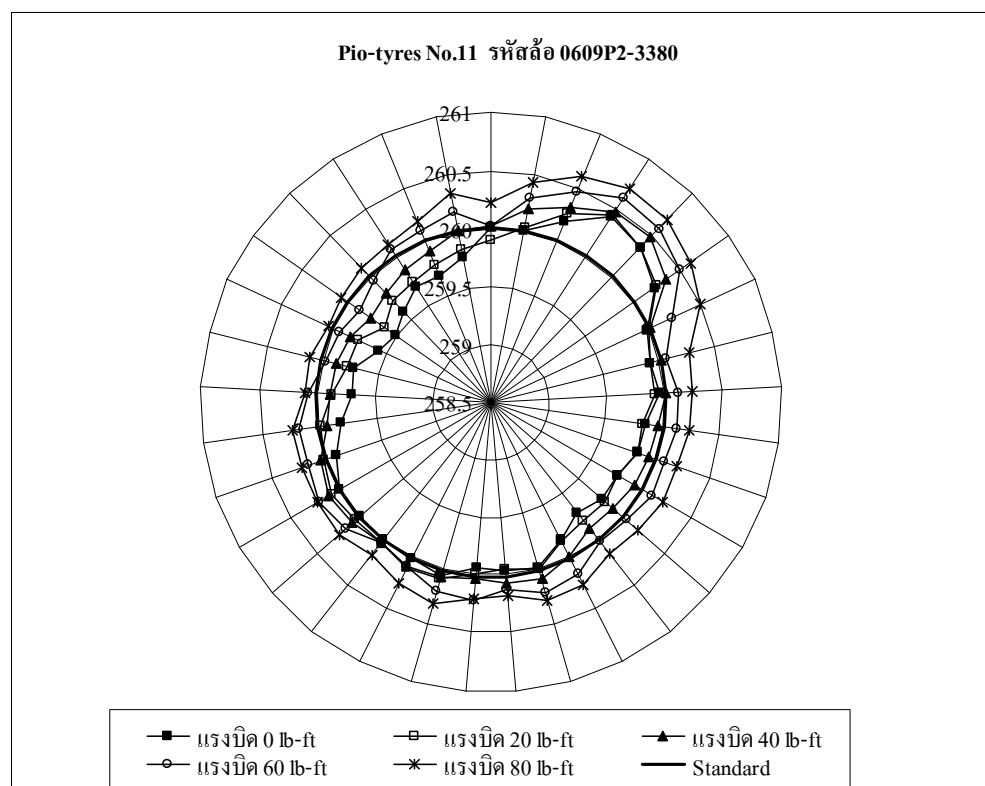
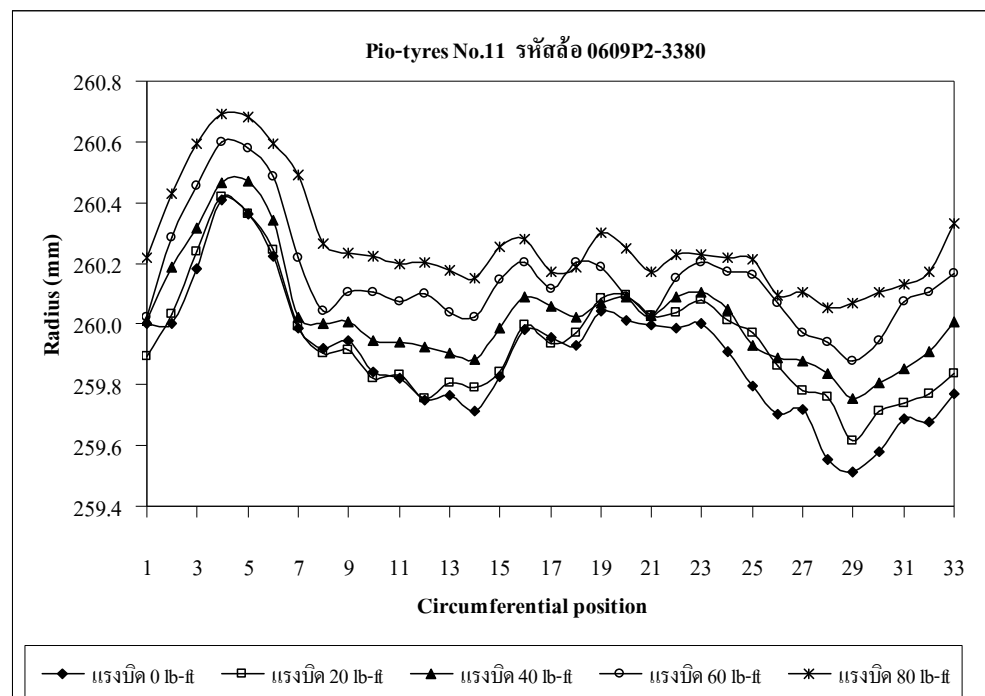
สำหรับตารางที่ 5.8-5.9 เป็นการสรุปค่าต่างๆจากการวัดความกลมของล้อยางต้นที่ผลิตด้วยวิธีการที่ 3

ตารางที่ 5.8 ค่าเบี่ยงเบนความกลมของล้อยาง Pio-tyres 6.00-9 Rim 4 ล้อที่ 4 ผลิตด้วยวิธีการที่ 3
ที่แรงขันบีบกระทะล้อต่างๆ

Clamping Force	Max(mm)	Min(mm)	Avg(mm)	SD.
Not-clamping	260.367	259.790	260.036	0.14794346
20 ft-lb	260.411	259.862	260.101	0.14610739
40 ft-lb	260.497	260.067	260.244	0.14546351
60 ft-lb	260.534	260.151	260.296	0.14436276
80 ft-lb	260.620	260.210	260.389	0.14244343



รูปที่ 5.9 ความกลมของล้อยาง Pio-tyres 6.00-9 Rim 4 ล้อที่ 4 ผลิตคัวยวิชีการที่ 3 ที่แรงบีบขันกระทะล้อต่างๆ



รูปที่ 5.10 ความกลมของล้อยาง Pio-tyres 6.00-9 Rim 4 ล้อที่ 11 ผลิตค่ายวิชาร์การที่ 3 ที่แรงบีบขันกระแทกล้อต่างๆ

ตารางที่ 5.9 ค่าเบี่ยงเบนความกลมของล้อยาง Pio-tyres 6.00-9 Rim 4 ล้อที่ 11 ผลิตด้วยวิธีการที่ 3
ที่แรงขันบีบกระทะล้อต่างๆ

Clamping Force	Max(mm)	Min(mm)	Avg(mm)	SD.
Not-clamping	260.407	259.512	259.896	0.2101534
20 ft-lb	260.419	259.617	259.944	0.18579075
40 ft-lb	260.470	259.757	260.027	0.17122687
60 ft-lb	260.597	259.880	260.150	0.16910527
80 ft-lb	260.693	260.052	260.264	0.16874037

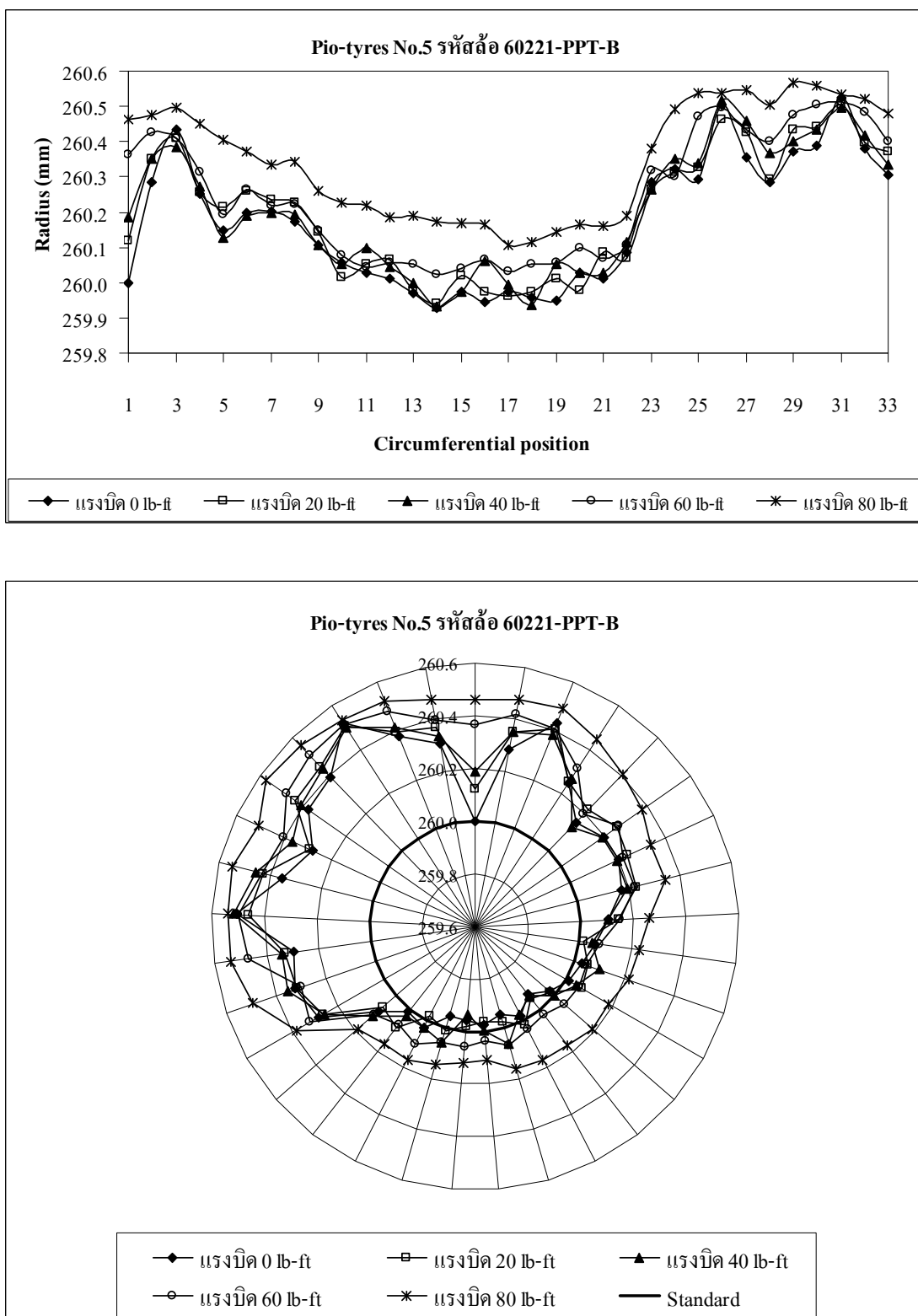
5.2.4 การตรวจสอบความกลมของล้อยางที่ผลิตด้วยวิธีการที่ 4 (ใช้เครื่องม้วนยางแบบใหม่ + พรีเคียว)

รูปที่ 5.11-5.12 เป็นข้อมูลของความกลมในรูปของรัศมีของล้อยางที่ผลิตด้วยวิธีการที่ 4 ที่จุดต่างๆตามแนวเส้นรอบวงล้อ และแรงขันบีบ (Clamping force) กระทะล้อที่ค่าต่างๆ จำนวน 2 เส้น ตามลำดับ โดยวัดด้วยเครื่องทดสอบความกลมของล้อยางที่ใช้ลูกกลิ้งช่วยวัดตามที่ได้กล่าวมาแล้วในหัวข้อ 4.1.42

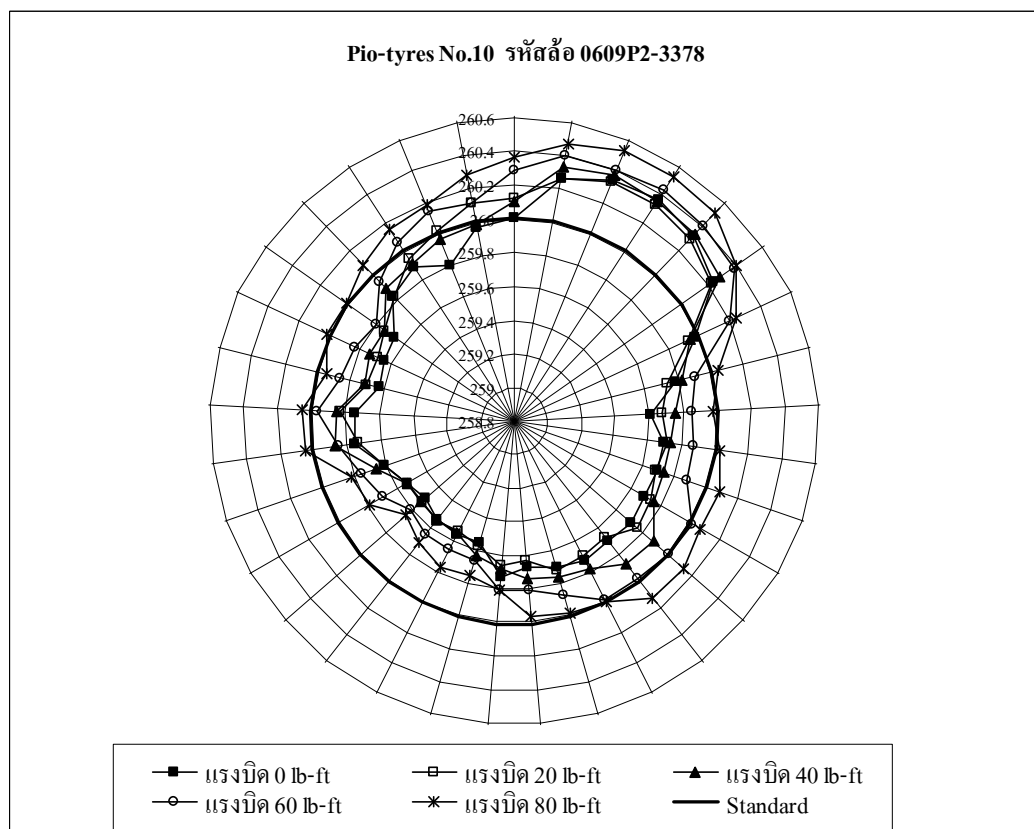
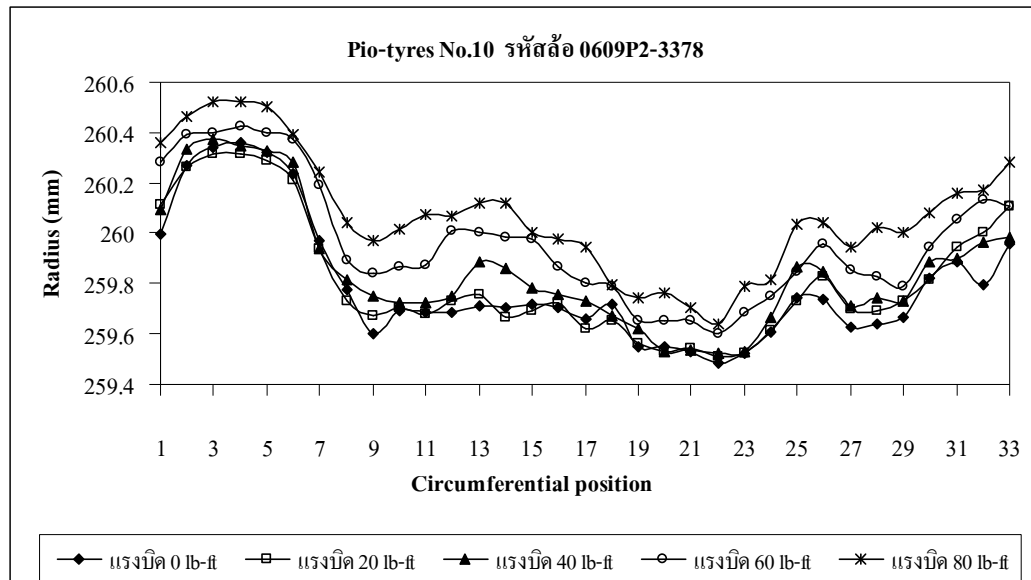
สำหรับตารางที่ 5.10-5.11 เป็นการสรุปค่าต่างๆจากการวัดความกลมของล้อยาง ตันที่ผลิตด้วยวิธีการที่ 4

ตารางที่ 5.10 ค่าเบี่ยงเบนความกลมของล้อยาง Pio-tyres 6.00-9 Rim 4 ล้อที่ 5 ผลิตด้วยวิธีการที่ 4
ที่แรงขันบีบกระทะล้อต่างๆ

Clamping Force	Max(mm)	Min(mm)	Avg(mm)	SD.
Not-clamping	260.525	259.927	260.174	0.180385
20 ft-lb	260.505	259.943	260.200	0.178559
40 ft-lb	260.518	259.932	260.203	0.177594
60 ft-lb	260.515	260.022	260.247	0.177037
80 ft-lb	260.567	260.105	260.347	0.161708



รูปที่ 5.11 ความกลมของล้อยาง Pio-tyres 6.00-9 Rim 4 ล้อที่ 5 ผลิตด้วยวิธีการที่ 4 ที่แรงบิดขันกระталล้อต่างๆ



รูปที่ 5.12 ความกลมของล้อยาง Pio-tyres 6.00-9 Rim 4 ล้อที่ 10 ผลิตด้วยวิธีการที่ 4 ที่แรงบีบขัน
กระทะลือต่างๆ

ตารางที่ 5.11 ค่าเบี่ยงเบนความกลมของล้อยาง Pio-tyres 6.00-9 Rim 4 ล้อที่ 10 ผลิตด้วยวิธีการที่ 4
ที่แรงขันบีบกระталอต่างๆ

Clamping Force	Max(mm)	Min(mm)	Avg(mm)	SD.
Not-clamping	260.362	259.484	259.796	0.2515945
20 ft-lb	260.316	259.513	259.816	0.2486969
40 ft-lb	260.372	259.521	259.854	0.2449386
60 ft-lb	260.424	259.604	259.967	0.2415537
80 ft-lb	260.522	259.641	260.071	0.2398876

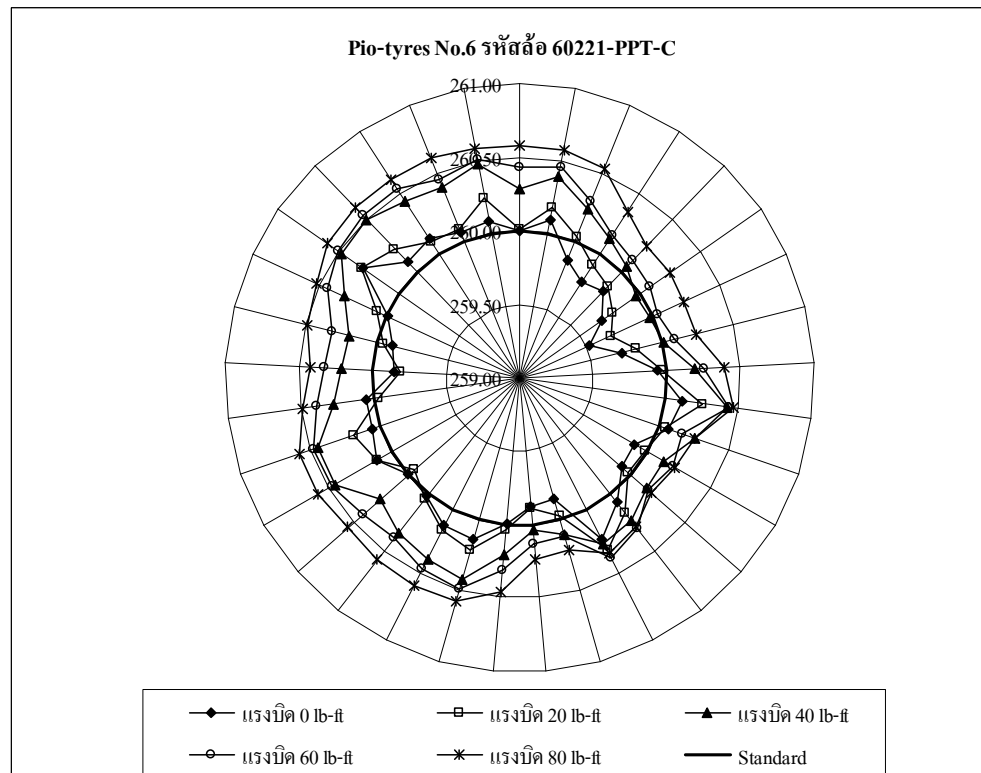
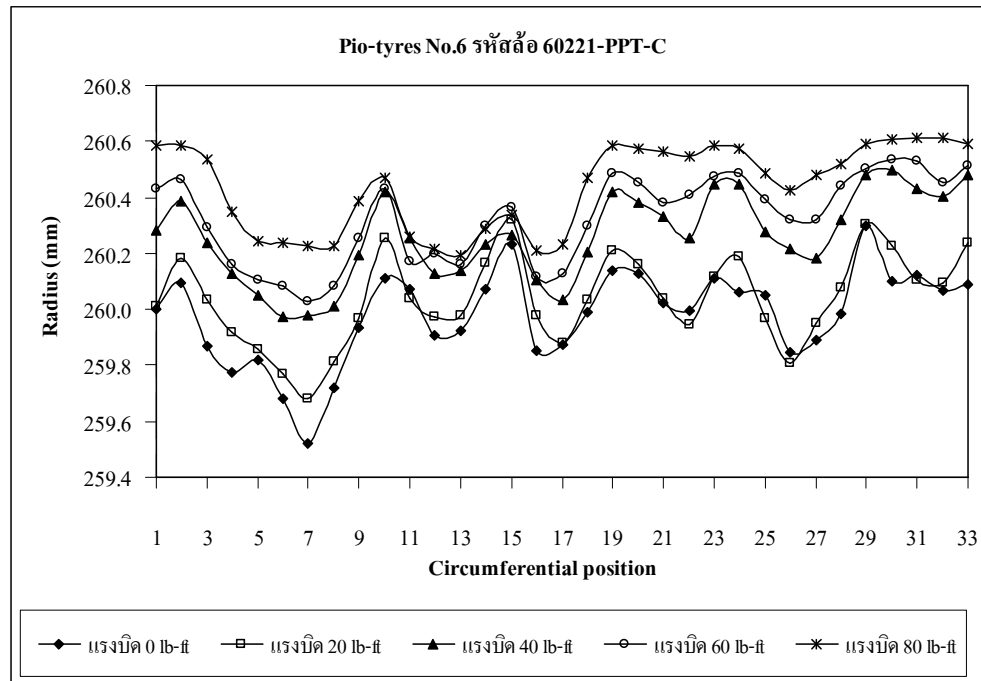
5.2.5 การตรวจสอบความกลมของล้อยางที่ผลิตด้วยวิธีการที่ 5 (ล้อที่ตั้งใจทำให้มีคุณภาพต่ำ)

รูปที่ 5.13-5.14 เป็นข้อมูลของความกลมในรูปของรัศมีของล้อยางที่ผลิตด้วยวิธีการที่ 5 ที่จุดต่างๆตามแนวเส้นรอบวงล้อ และแรงขันบีบ (Clamping force) กระталอที่ค่าต่างๆจำนวน 2 เส้น ตามลำดับ โดยวัดด้วยเครื่องทดสอบความกลมของล้อยางที่ใช้ลูกกลิ้งช่วยวัดตามที่ได้กล่าวมาแล้วในหัวข้อ 4.1.42

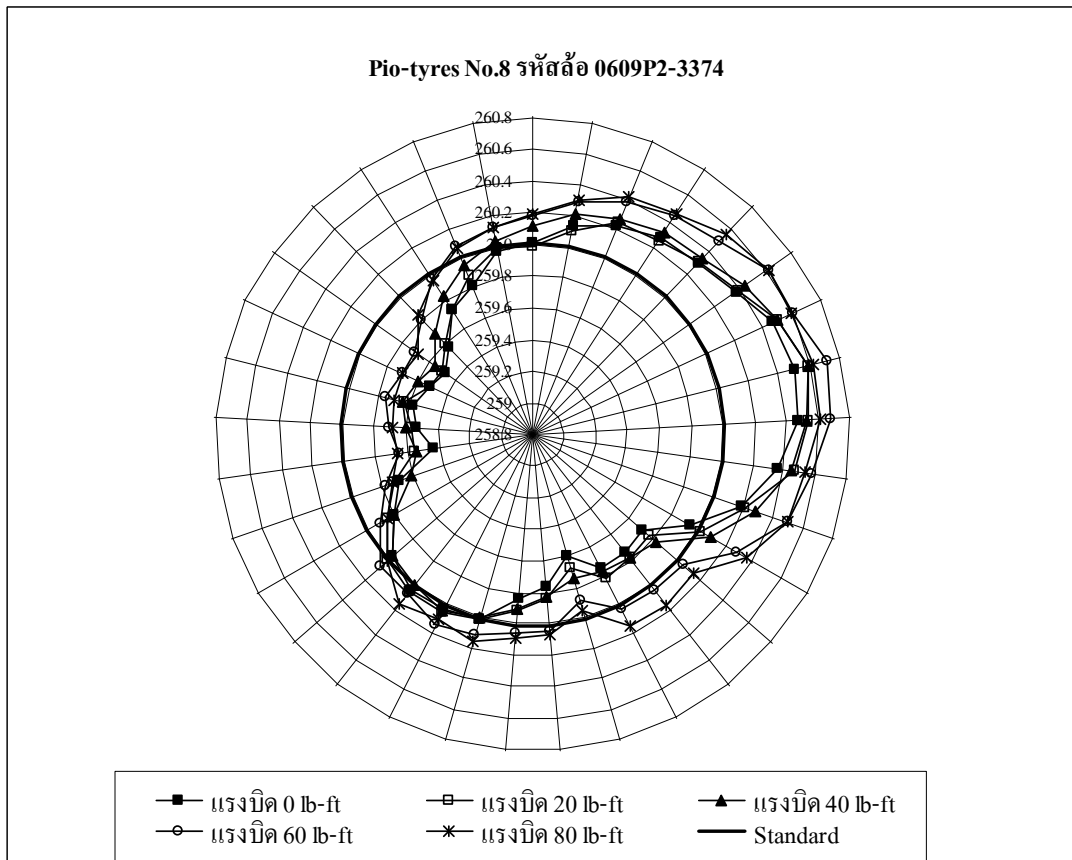
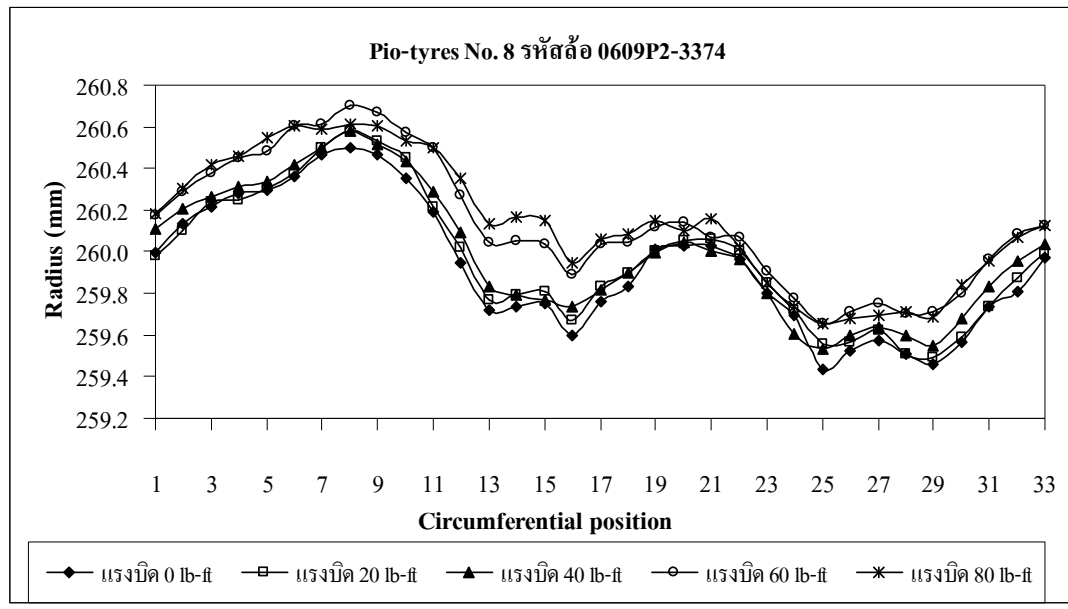
สำหรับตารางที่ 5.12-5.13 เป็นการสรุปค่าต่างๆจากการวัดความกลมของล้อยางตันที่ผลิตด้วยวิธีการที่ 5

ตารางที่ 5.12 ค่าเบี่ยงเบนความกลมของล้อยาง Pio-tyres 6.00-9 Rim 4 ล้อที่ 6 ผลิตด้วยวิธีการที่ 5 ที่แรงขันบีบกระталอต่างๆ

Clamping Force	Max(mm)	Min(mm)	Avg(mm)	SD.
Not-clamping	260.297	259.524	259.981	0.1633646
20 ft-lb	260.32	259.68	260.039	0.1582127
40 ft-lb	260.499	259.972	260.260	0.1555714
60 ft-lb	260.533	260.027	260.326	0.1545206
80 ft-lb	260.614	260.193	260.436	0.1534972



รูปที่ 5.13 ความก่อมของล้อยาง Pio-tyres 6.00-9 Rim 4 ล้อที่ 6 ผลิตด้วยวิธีการที่ 5 ที่แรงบิดขัน
กระยะล้อต่างๆ



รูปที่ 5.14 ความกลมของล้อยาง Pio-tyres 6.00-9 Rim 4 ล้อที่ 8 ผลิตค่ายวิชีการที่ 5 ที่แรงบิดขั้น
กระยะล้อต่างๆ

ตารางที่ 5.13 ค่าเบี่ยงเบนความกลมของล้อยาง Pio-tyres 6.00-9 Rim 4 ล้อที่ 8 ผลิตด้วยวิธีการที่ 5
ที่แรงขันบีบกระยะล้อต่างๆ

Clamping Force	Max(mm)	Min(mm)	Avg(mm)	SD.
Not-clamping	260.501	259.435	259.931	0.315878
20 ft-lb	260.582	259.494	259.969	0.312111
40 ft-lb	260.585	259.537	259.993	0.310834
60 ft-lb	260.701	259.652	260.133	0.309182
80 ft-lb	260.616	259.655	260.142	0.308058

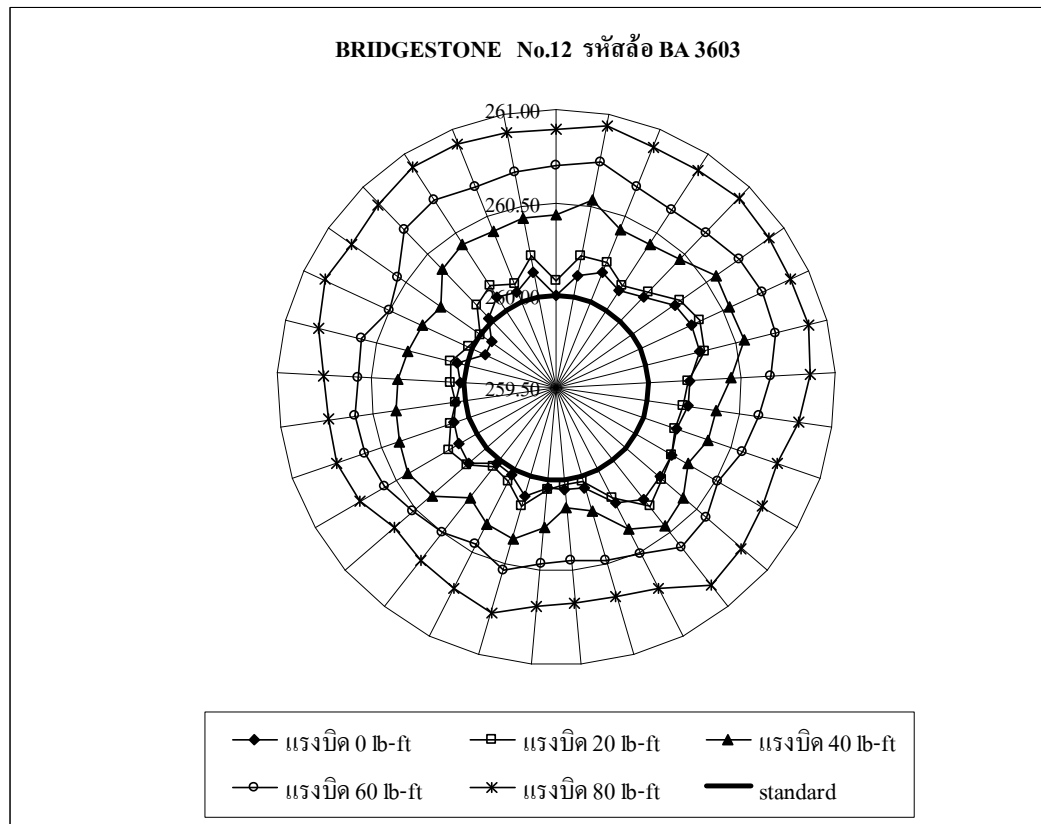
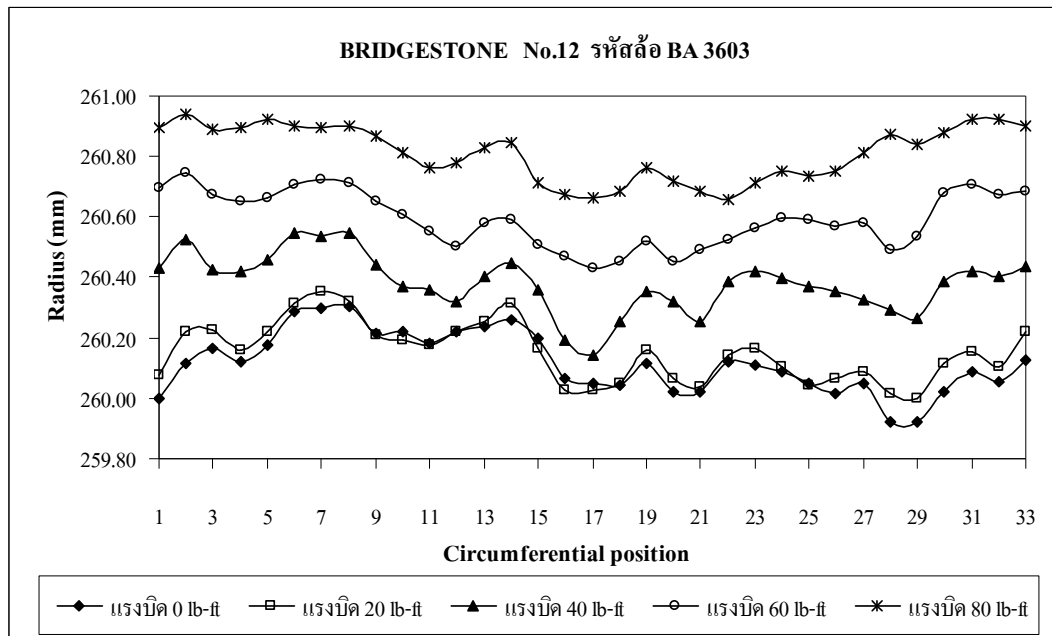
5.2.6 การตรวจสอบความกลมของล้อยางมาตรฐานยี่ห้ออื่นๆ

รูปที่ 5.15-5.26 เป็นข้อมูลของความกลมในรูปของรัศมีของล้อยางมาตรฐานที่จุดต่างๆ ตามแนวเส้นรอบวงล้อ และแรงขันบีบ (Clamping force) กระยะล้อที่ค่าต่างๆจำนวน 12 เส้น ตามลำดับ โดยวัดด้วยเครื่องทดสอบความกลมของล้อยางที่ใช้ลูกกลิ้งช่วยวัดตามที่ได้กล่าวมาแล้ว ในหัวข้อ 4.1.42

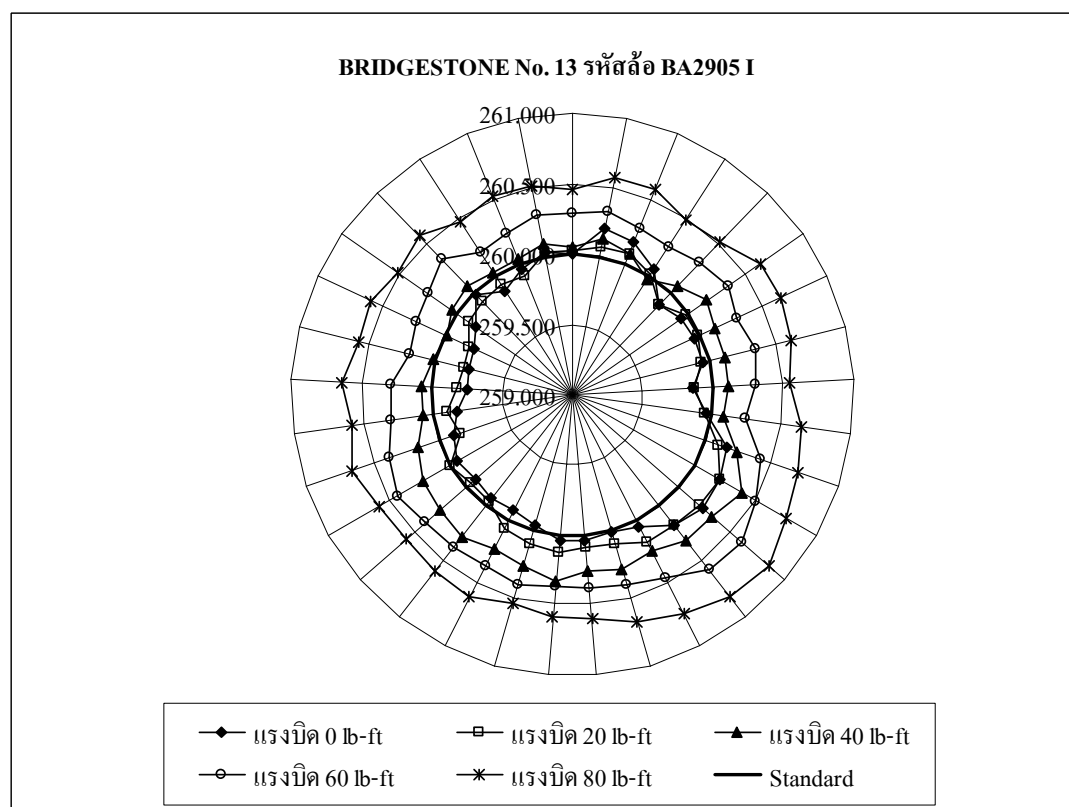
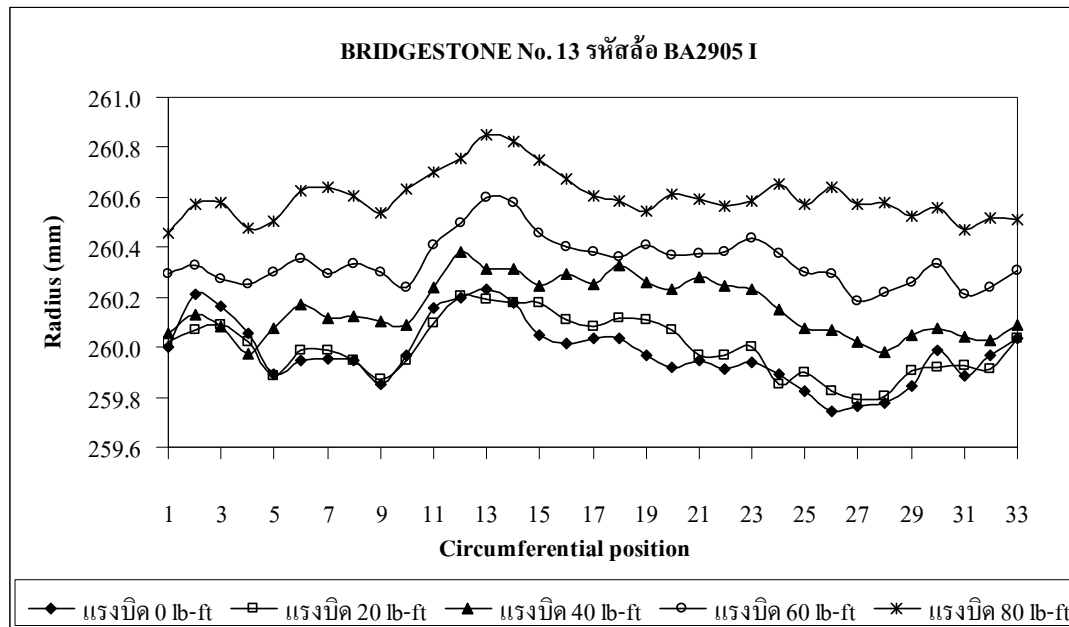
สำหรับตารางที่ 5.14-5.25 เป็นการสรุปค่าต่างๆจากการวัดความกลมของล้อยางตันที่เป็นกลุ่มล้อยางมาตรฐาน

ตารางที่ 5.14 ค่าเบี่ยงเบนความกลมของล้อยาง Bridgestone 6.00-9 Rim 4 ล้อที่ 12 เป็นล้อยางมาตรฐาน ที่แรงบีบกระยะล้อต่างๆ

Clamping Force	Max(mm)	Min(mm)	Avg(mm)	SD.
Not-clamping	260.303	259.919	260.11706	0.1021188
20 ft-lb	260.354	259.999	260.15185	0.0967833
40 ft-lb	260.546	260.145	260.13445	0.0939668
60 ft-lb	260.743	260.431	260.59285	0.091287
80 ft-lb	260.939	260.658	260.81164	0.0903717



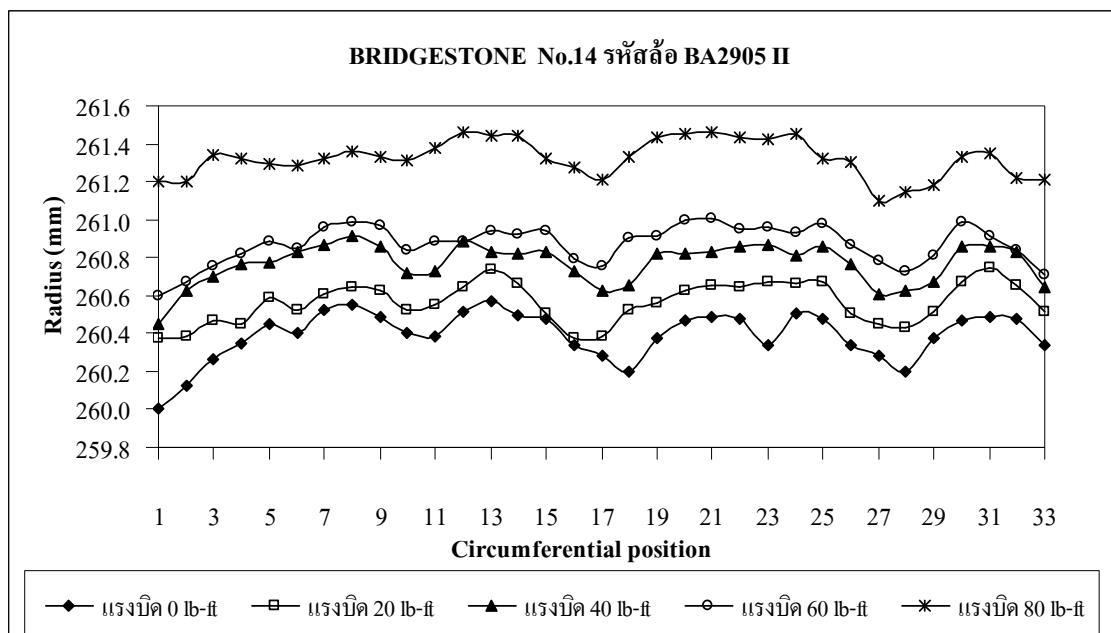
รูปที่ 5.15 ความกลมของล้อยาง Bridgestone 6.00-9 Rim 4 ล้อที่ 12 เป็นล้อยางมาตรฐาน ที่แรงบิดขันกระทะล็อต่างๆ



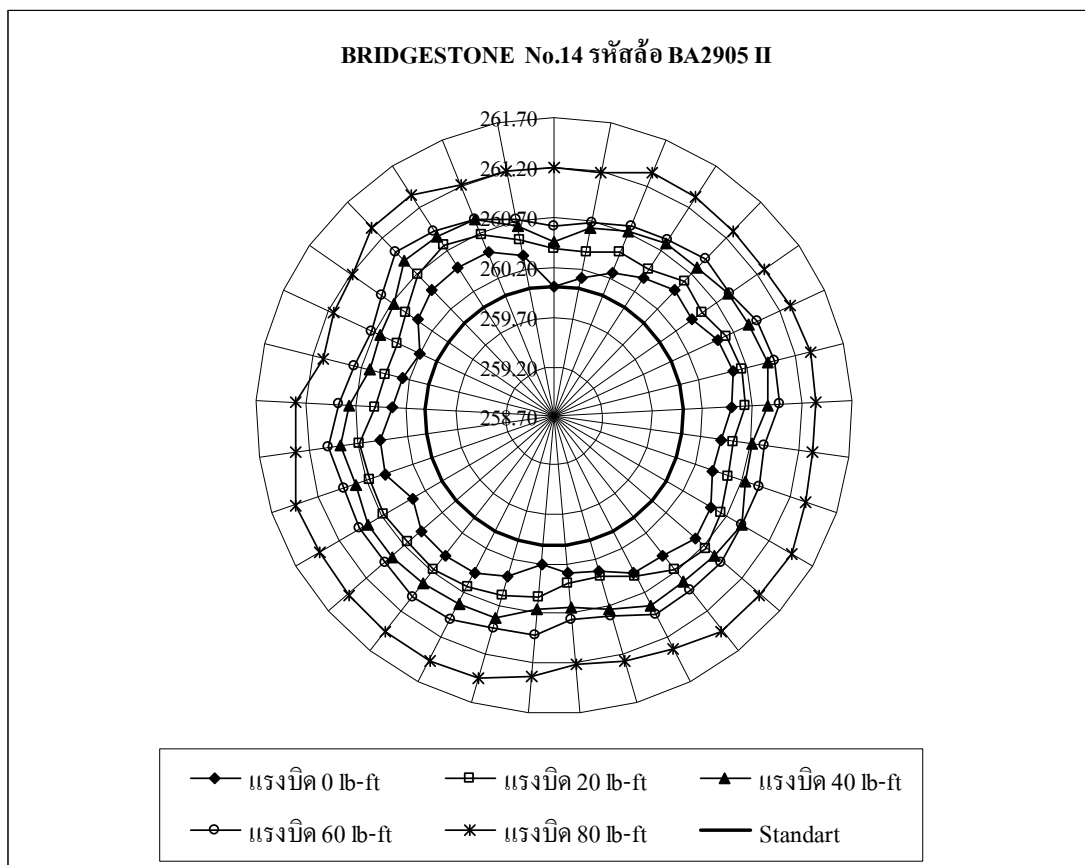
รูปที่ 5.16 ความกลมของล้อยาง Bridgestone 6.00-9 Rim 4 ล้อที่ 13 เป็นล้อยางมาตรฐาน ที่แรงบิดขันกระดาษล้อต่างๆ

ตารางที่ 5.15 ค่าเบี่ยงเบนความกลมของล้อยาง Bridgestone 6.00-9 Rim 4 สื้อที่ 13 เป็นล้อยาง มาตรฐาน ที่เร่งบีบขันกระดาลล้อต่างๆ

Clamping Force	Max(mm)	Min(mm)	Avg(mm)	SD.
Not-clamping	260.229	259.744	259.978	0.129000
20 ft-lb	260.208	259.793	259.999	0.115487
40 ft-lb	260.384	259.971	260.155	0.111197
60 ft-lb	260.601	260.188	260.344	0.097224
80 ft-lb	260.854	260.453	260.602	0.093544



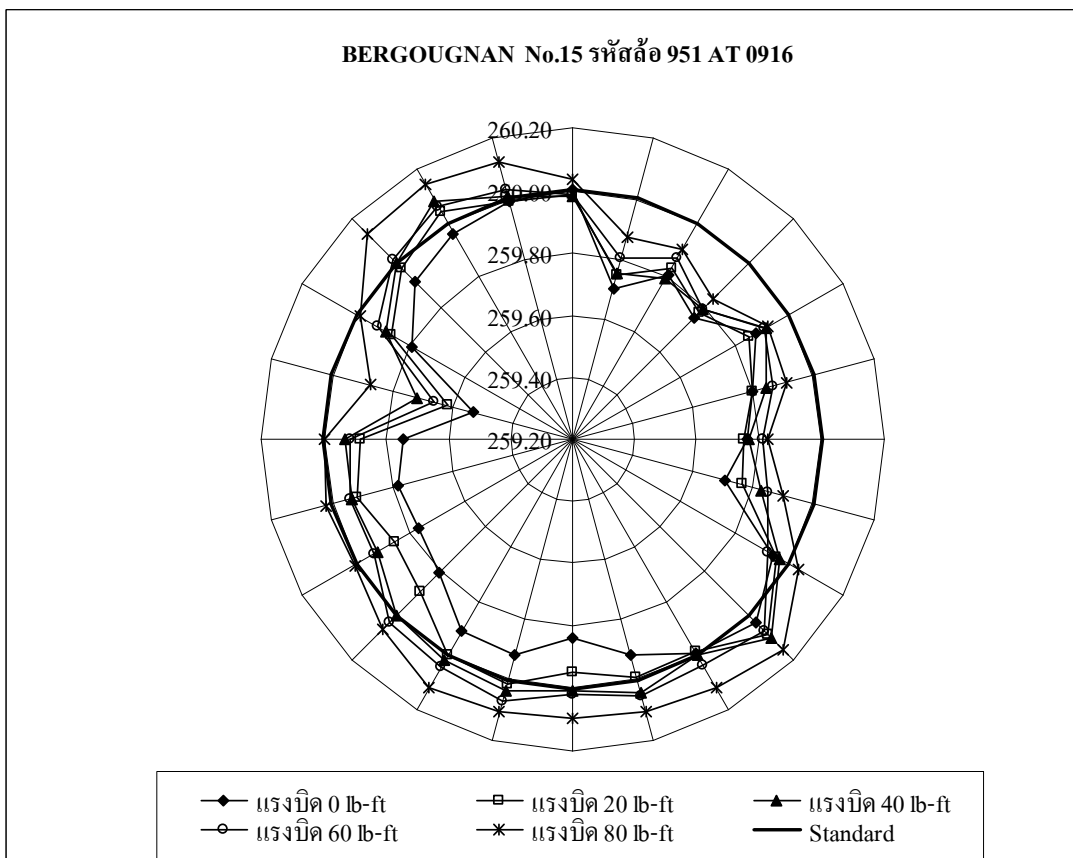
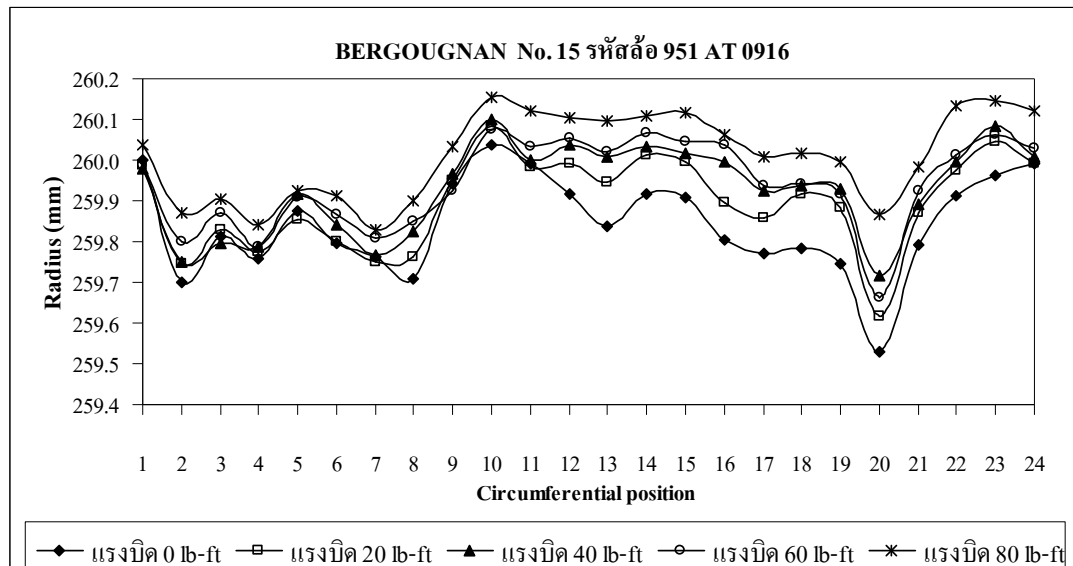
รูปที่ 5.17 ก). ความกลมของล้อยาง Bridgestone 6.00-9 Rim 4 สื้อที่ 14 เป็นล้อยางมาตรฐาน ที่เร่งบีบขันกระดาลล้อต่างๆ



รูปที่ 5.17 บ). ความกลมของล้อยาง Bridgestone 6.00-9 Rim 4 ล้อที่ 14 เป็นล้อยางมาตรฐาน ที่แรงบีบขันกระทะล้อต่างๆ

ตารางที่ 5.16 ค่าเบี่ยงเบนความกลมของล้อยาง Bridgestone 6.00-9 Rim 4 ล้อที่ 14 เป็นล้อยางมาตรฐาน ที่แรงบีบขันกระทะล้อต่างๆ

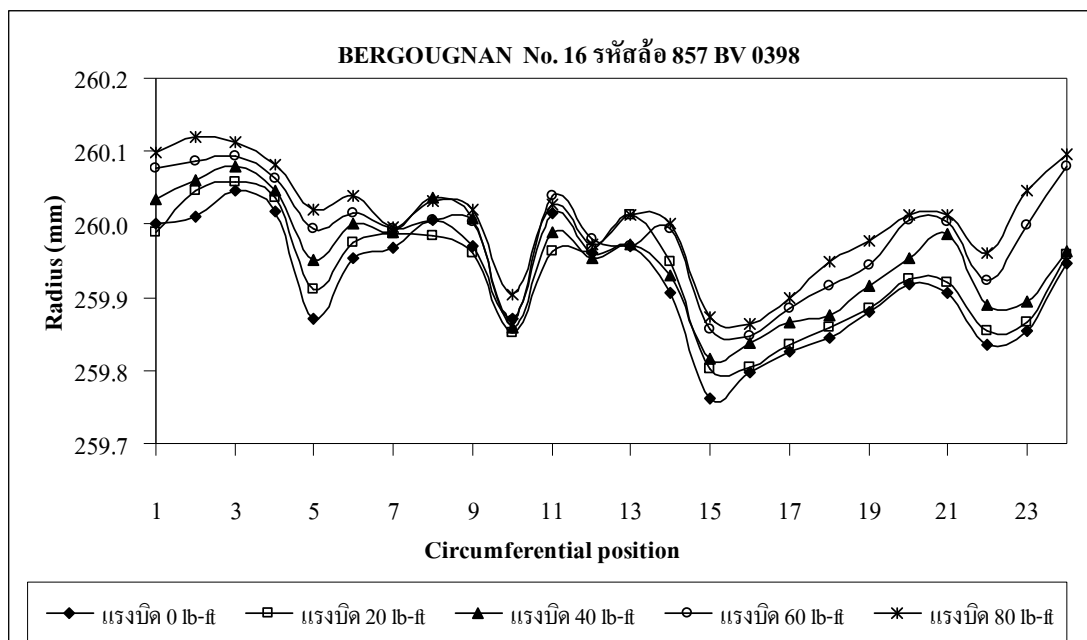
Clamping Force	Max(mm)	Min(mm)	Avg(mm)	SD.
Not-clamping	260.573	260.000	260.391	0.129819
20 ft-lb	260.742	260.376	260.563	0.106996
40 ft-lb	260.918	260.450	260.767	0.106675
60 ft-lb	261.010	260.601	260.870	0.102454
80 ft-lb	261.460	261.100	261.323	0.098580



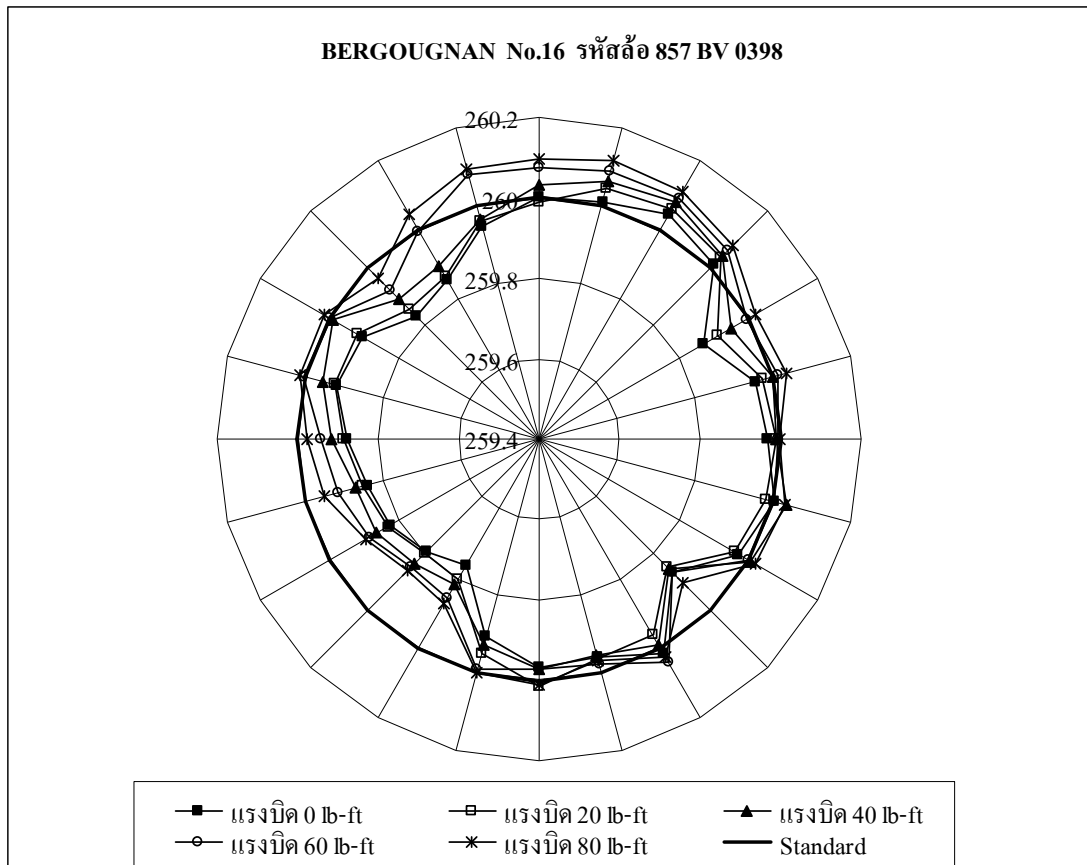
ຮູບທີ 5.18 ຄວາມກລນຂອງລ້ອຍາງ Bergougnan 6.00-9 Rim 4 ລ້ອທີ 15 ເປັນລ້ອຍາງມາຕຣຽນ ທີ່ແຮງບົບ
ບັນກະທະລ້ອຕໍ່ຕ່າງໆ

ตารางที่ 5.17 ค่าเบี่ยงเบนความกลมของล้อยาง Bergougnan 6.00-9 Rim 4 ล้อที่ 15 เป็นล้อยาง
มาตรฐาน ที่เร่งบีบขันกระดาลล้อต่างๆ

Clamping Force	Max(mm)	Min(mm)	Avg(mm)	SD.
Not-clamping	260.037	259.529	259.844	0.119431
20 ft-lb	260.084	259.617	259.896	0.114269
40 ft-lb	260.099	259.717	259.930	0.109668
60 ft-lb	260.073	259.664	259.943	0.107971
80 ft-lb	260.400	259.938	260.011	0.107091



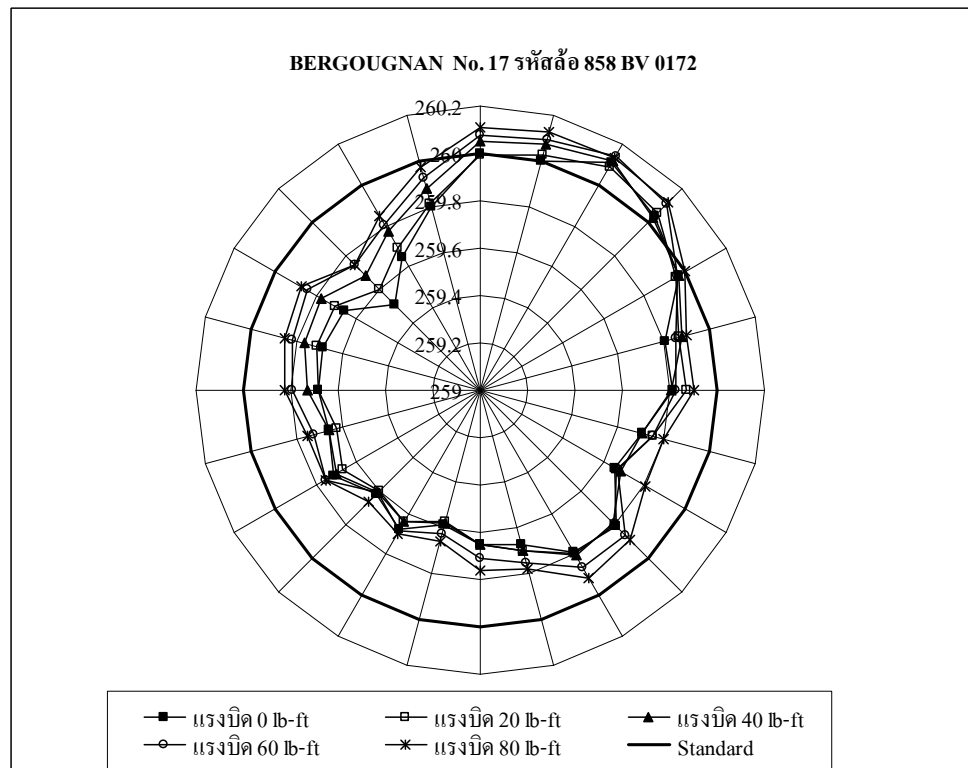
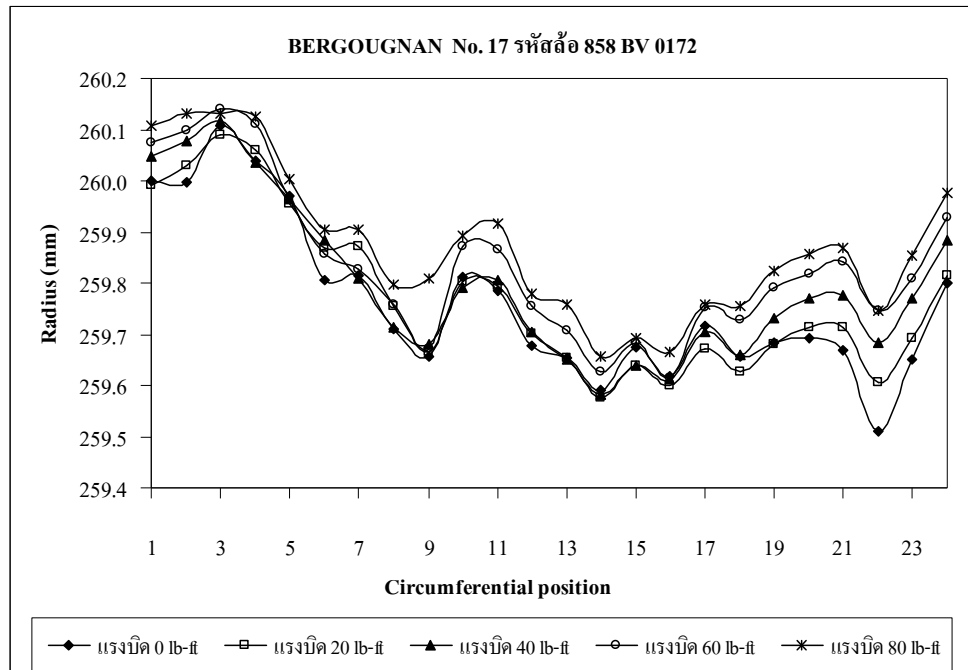
รูปที่ 5.19 ก.) ความกลมของล้อยาง Bergougnan 6.00-9 Rim 4 ล้อที่ 16 เป็นล้อยางมาตรฐาน ที่เร่งบีบขันกระดาลล้อต่างๆ



รูปที่ 5.19 ข.) ความกลมของล้อยาง Bergougnan 6.00-9 Rim 4 ล้อที่ 16 เป็นล้อยางมาตรฐาน ที่แรงบีบขันกระยะล้อต่างๆ

ตารางที่ 5.18 ค่าเบี่ยงเบนความกลมของล้อยาง Bergougnan 6.00-9 Rim 4 ล้อที่ 16 เป็นล้อยางมาตรฐาน ที่แรงบีบขันกระยะล้อต่างๆ

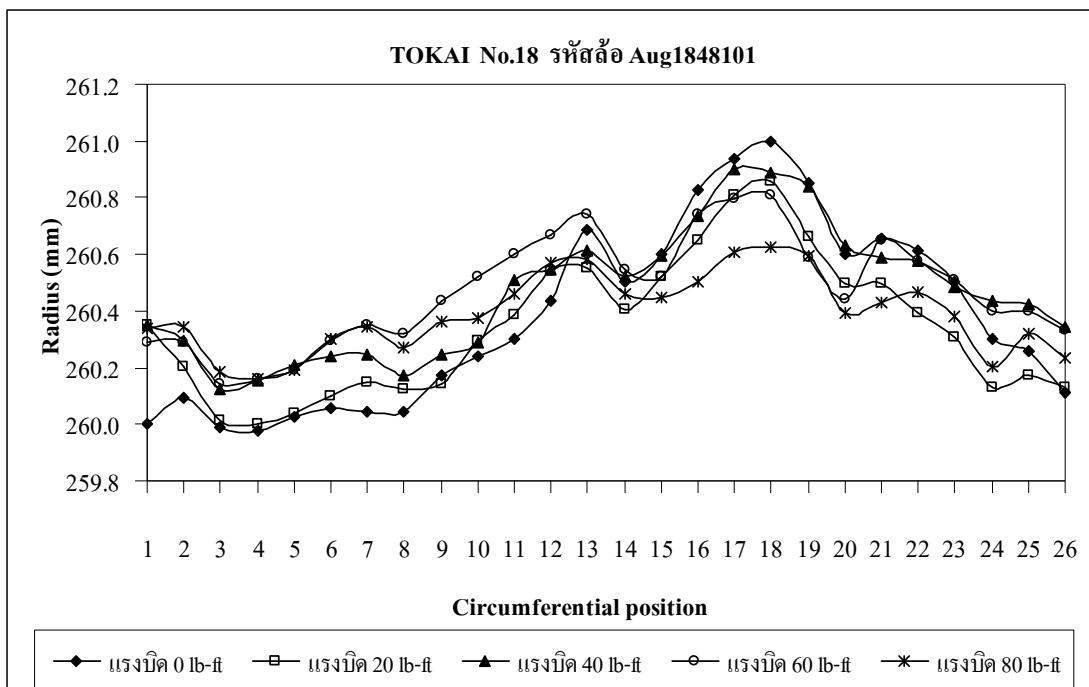
Clamping Force	Max(mm)	Min(mm)	Avg(mm)	SD.
Not-clamping	260.046	259.763	259.922	0.077855
20 ft-lb	260.058	259.802	259.933	0.074790
40 ft-lb	260.079	259.817	259.954	0.073059
60 ft-lb	260.094	259.848	259.985	0.072517
80 ft-lb	260.120	259.864	260.005	0.071448



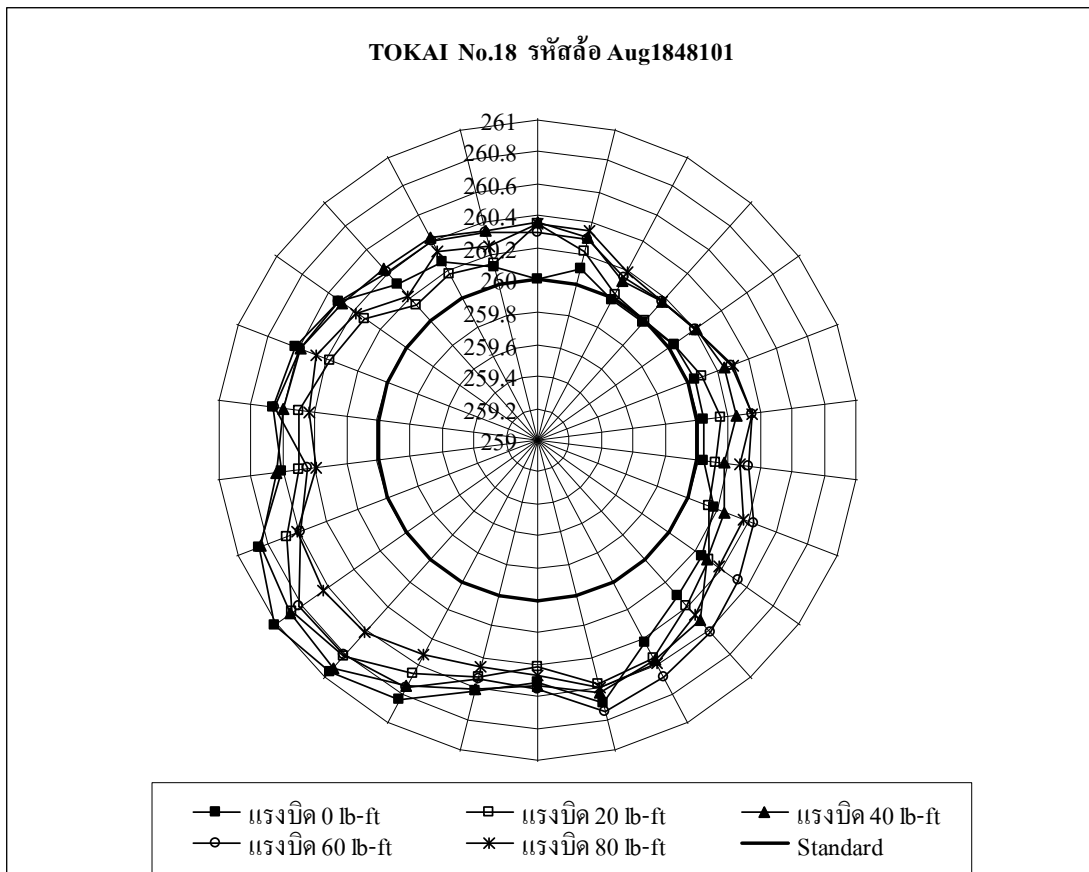
รูปที่ 5.20 ความกลมของล้อยาง Bergougnan 6.00-9 Rim 4 ล้อที่ 17 เป็นล้อยางมาตรฐาน ที่แรงบิดขันกระแทกด้วยต่างๆ

ตารางที่ 5.19 ค่าเบี่ยงเบนความกลมของล้อยาง Bergougnan 6.00-9 Rim 4 ล้อที่ 17 เป็นล้อยาง มาตรฐาน ที่แรงบีบขันกระทะล้อต่างๆ

Clamping Force	Max(mm)	Min(mm)	Avg(mm)	SD.
Not-clamping	260.108	259.509	259.762	0.156084
20 ft-lb	260.089	259.576	259.774	0.154478
40 ft-lb	260.1155	259.583	259.796	0.154105
60 ft-lb	260.14	259.616	259.835	0.150539
80 ft-lb	260.132	259.657	259.872	0.145097



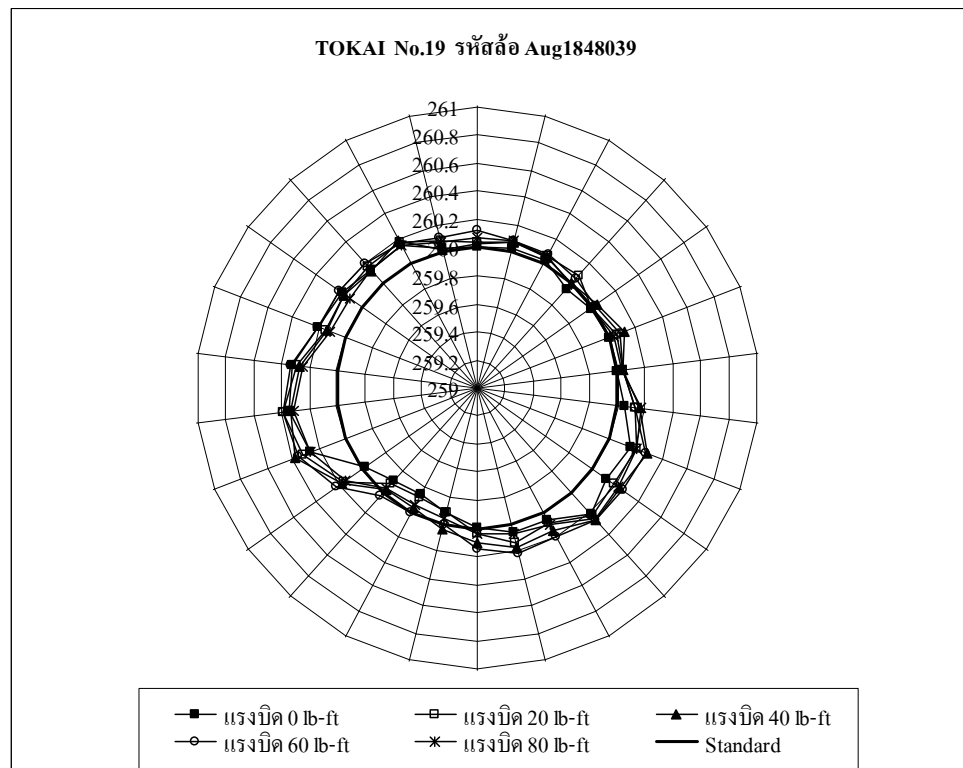
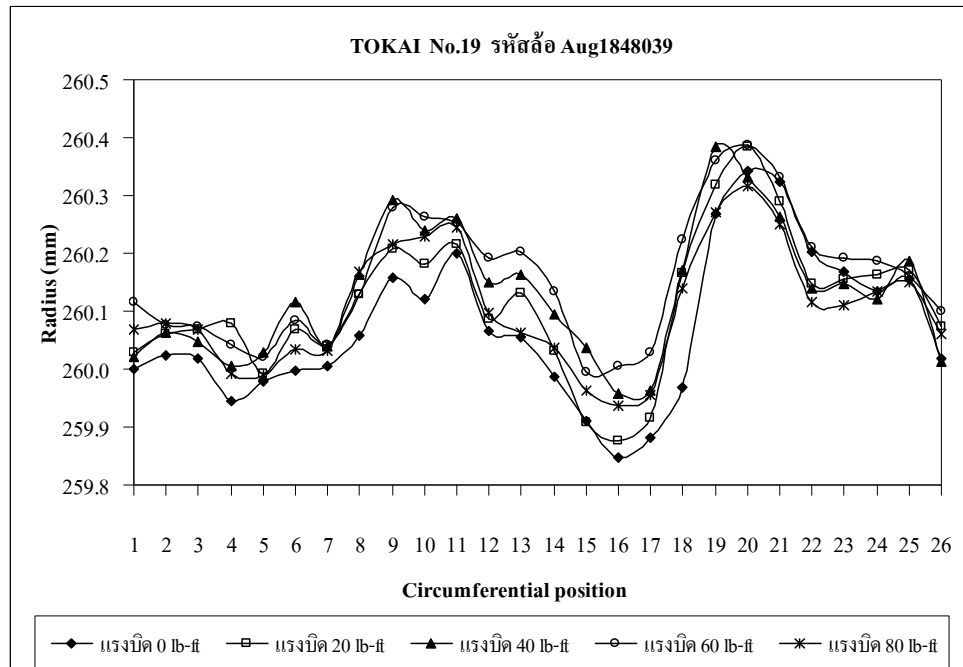
รูปที่ 5.21 ก.) ความกลมของล้อยาง Tokai 6.00-9 Rim 4 ล้อที่ 18 เป็นล้อยางมาตรฐาน ที่แรงบีบขันกระทะล้อต่างๆ



รูปที่ 5.21 ข.) ความกลมของล้อยาง Tokai 6.00-9 Rim 4 ล้อที่ 18 เป็นล้อยางมาตรฐาน ที่แรงบีบขันกระทะล้อต่างๆ

ตารางที่ 5.20 ค่าเบี่ยงเบนความกลมของล้อยาง Tokai 6.00-9 Rim 4 ล้อที่ 18 เป็นล้อยางมาตรฐาน ที่แรงบีบขันกระทะล้อต่างๆ

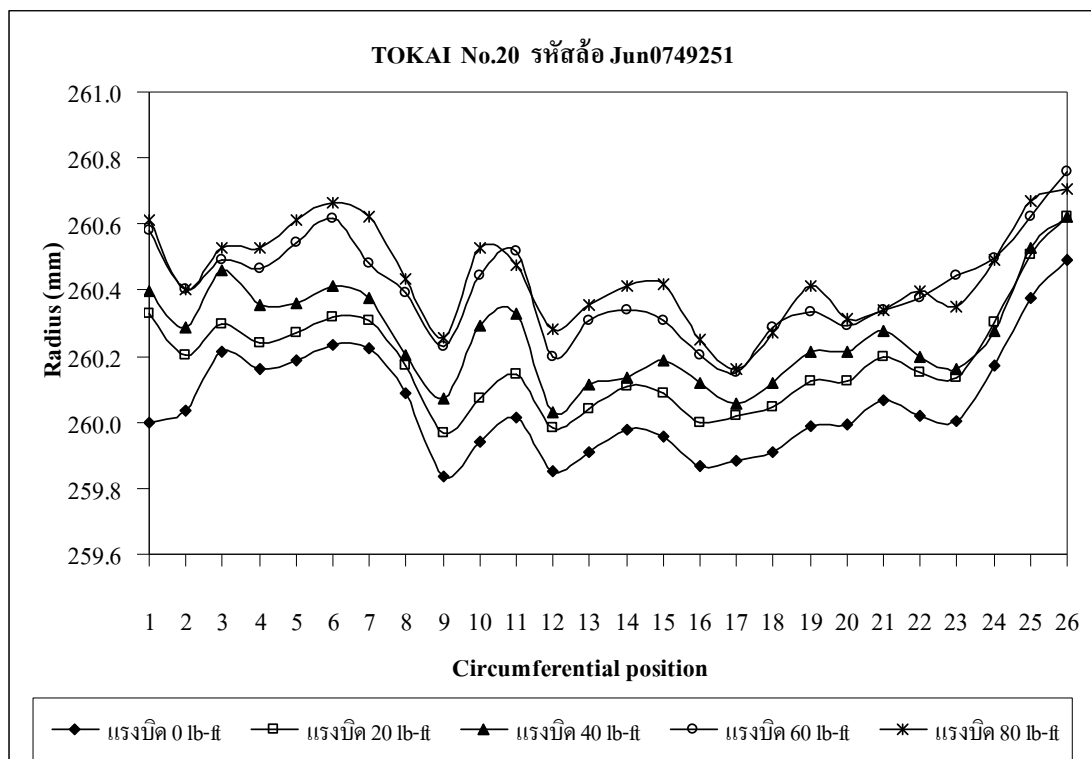
Clamping Force	Max(mm)	Min(mm)	Avg(mm)	SD.
Not-clamping	260.996	259.975	260.378	0.323814
20 ft-lb	260.859	260.002	260.344	0.244647
40 ft-lb	260.901	260.121	260.460	0.226658
60 ft-lb	260.808	260.145	260.473	0.193510
80 ft-lb	260.627	260.160	260.391	0.138444



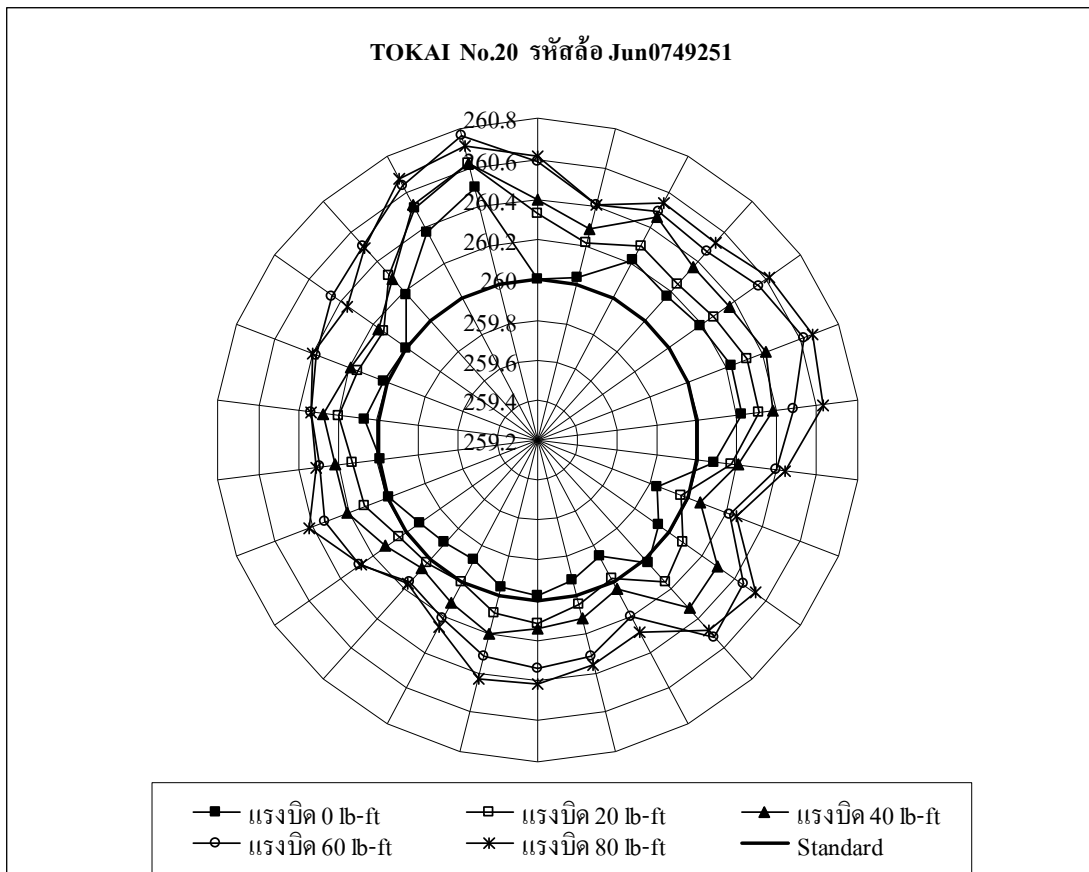
รูปที่ 5.22 ความกลมของล้อยาง Tokai 6.00-9 Rim 4 ล้อที่ 19 เป็นล้อยางมาตรฐาน ที่แรงบิดขั้น กระหะลือต่างๆ

ตารางที่ 5.21 ค่าเบี่ยงเบนความกลมของล้อยาง Tokai 6.00-9 Rim 4 ล้อที่ 19 เป็นล้อยางมาตรฐาน
ที่แรงบีบขันกระยะล้อต่างๆ

Clamping Force	Max(mm)	Min(mm)	Avg(mm)	SD.
Not-clamping	260.343	259.846	260.071	0.12939
20 ft-lb	260.385	259.877	260.111	0.12083
40 ft-lb	260.385	259.958	260.131	0.11412
60 ft-lb	260.386	259.996	260.157	0.11092
80 ft-lb	260.317	259.937	260.105	0.10359



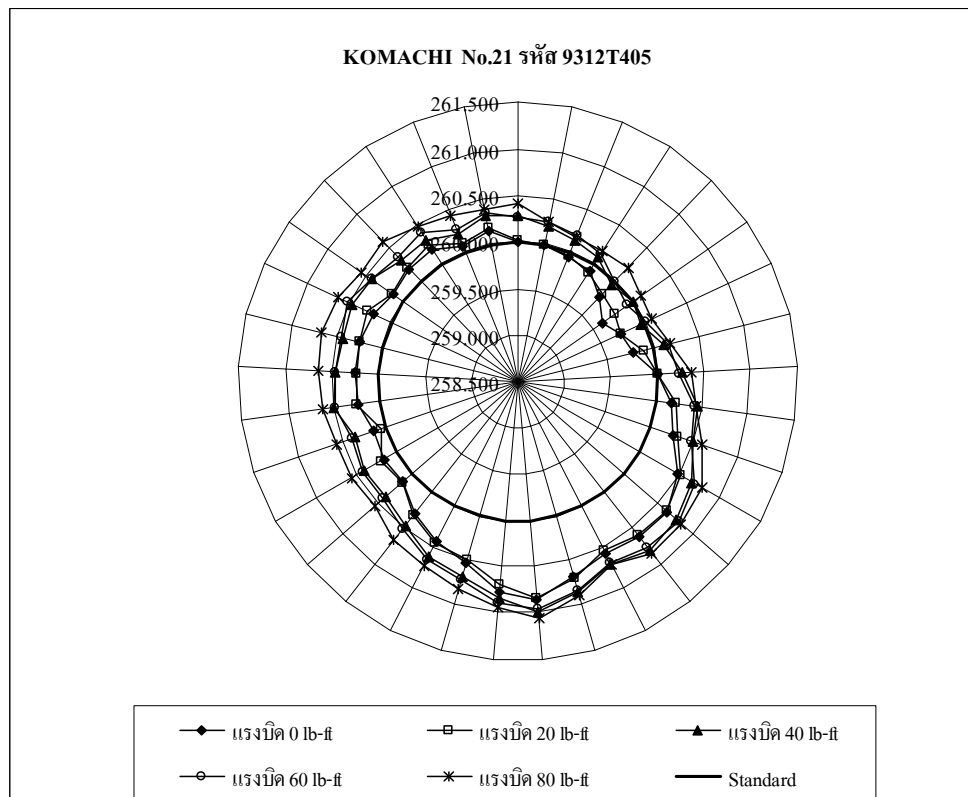
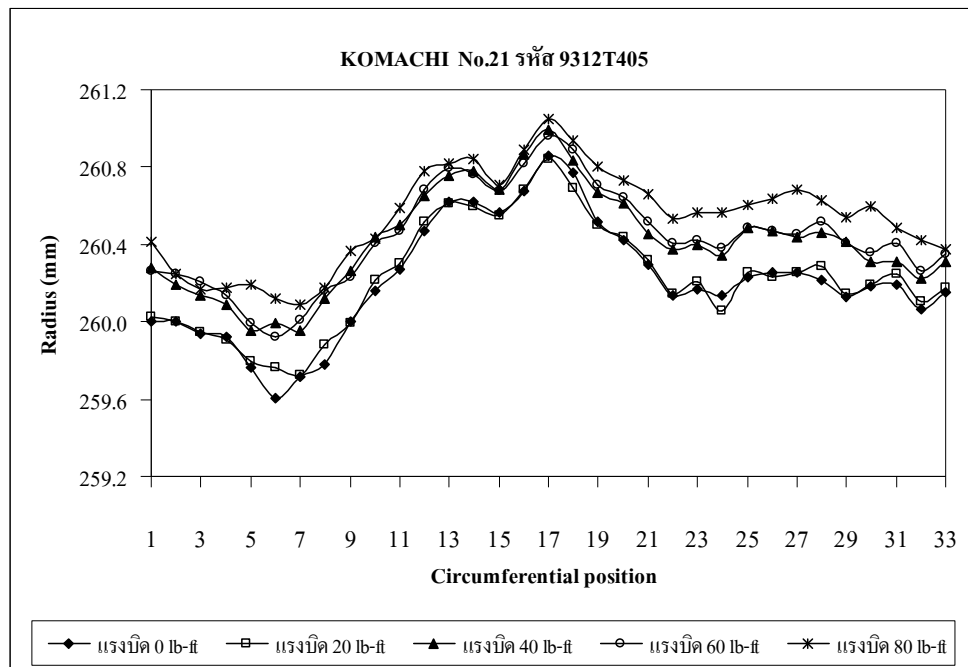
รูปที่ 5.23 ก.) ความกลมของล้อยาง Tokai 6.00-9 Rim 4 ล้อที่ 20 เป็นล้อยางมาตรฐาน ที่แรงบีบขัน
กระยะล้อต่างๆ



รูปที่ 5.23 ข.) ความกลมของล้อยาง Tokai 6.00-9 Rim 4 ล้อที่ 20 เป็นล้อยางมาตรฐาน ที่แรงบีบขัน
กระทะล้อต่างๆ

ตารางที่ 5.22 ค่าเบี่ยงเบนความกลมของล้อยาง Tokai 6.00-9 Rim 4 ล้อที่ 20 เป็นล้อยางมาตรฐาน
ที่แรงบีบขันกระทะล้อต่างๆ

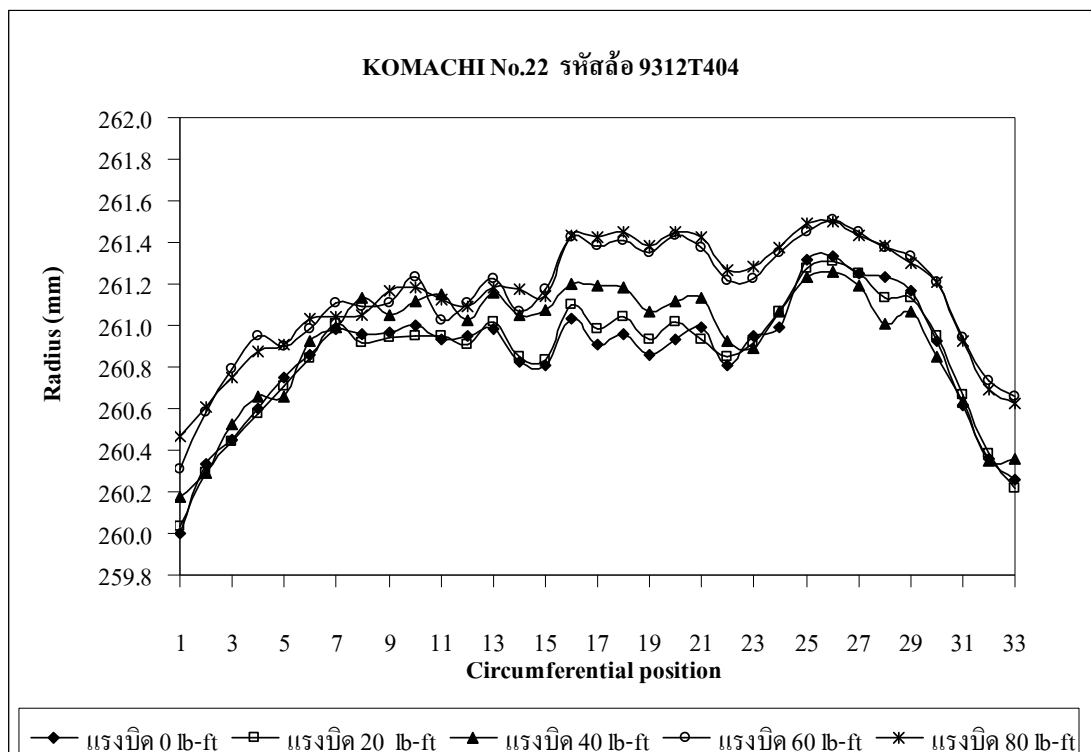
Clamping Force	Max(mm)	Min(mm)	Avg(mm)	SD.
Not-clamping	260.491	259.835	260.054	0.162670
20 ft-lb	260.623	259.967	260.183	0.156950
40 ft-lb	260.623	260.033	260.408	0.148923
60 ft-lb	260.757	260.148	260.408	0.148557
80 ft-lb	260.706	260.161	260.442	0.147402



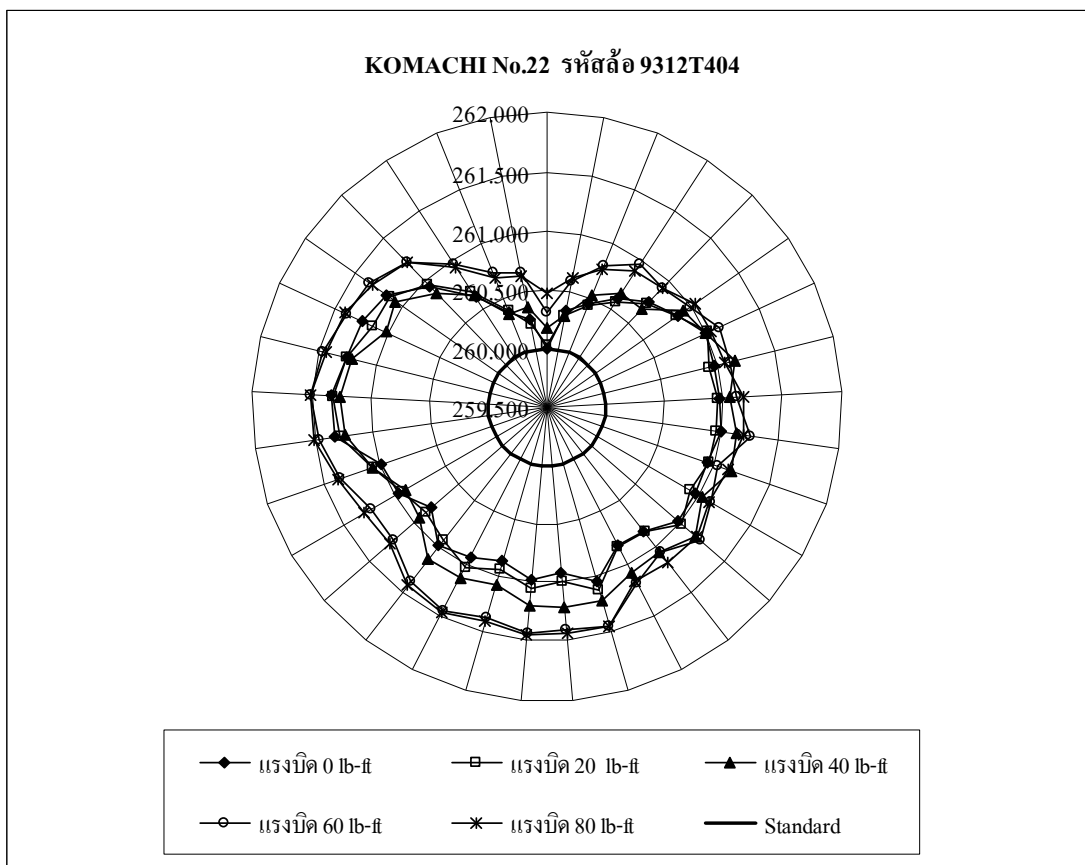
รูปที่ 5.24 ความกลมของล้อยาง Komachi 6.00-9 Rim 4 ล้อที่ 21 เป็นล้อยางมาตรฐาน ที่แรงบิดขัน
กระยะล้อต่างๆ

ตารางที่ 5.23 ค่าเบี่ยงเบนความกลมของล้อยาง Komachi 6.00-9 Rim 4 ล้อที่ 21 เป็นล้อยางมาตรฐานที่แรงบีบขันกระดาลล้อต่างๆ

Clamping Force	Max(mm)	Min(mm)	Avg(mm)	SD.
Not-clamping	260.860	259.604	260.215	0.305460
20 ft-lb	260.840	259.725	260.230	0.284313
40 ft-lb	260.994	259.951	260.418	0.258908
60 ft-lb	260.963	259.926	260.437	0.258908
80 ft-lb	261.050	260.090	260.541	0.253591



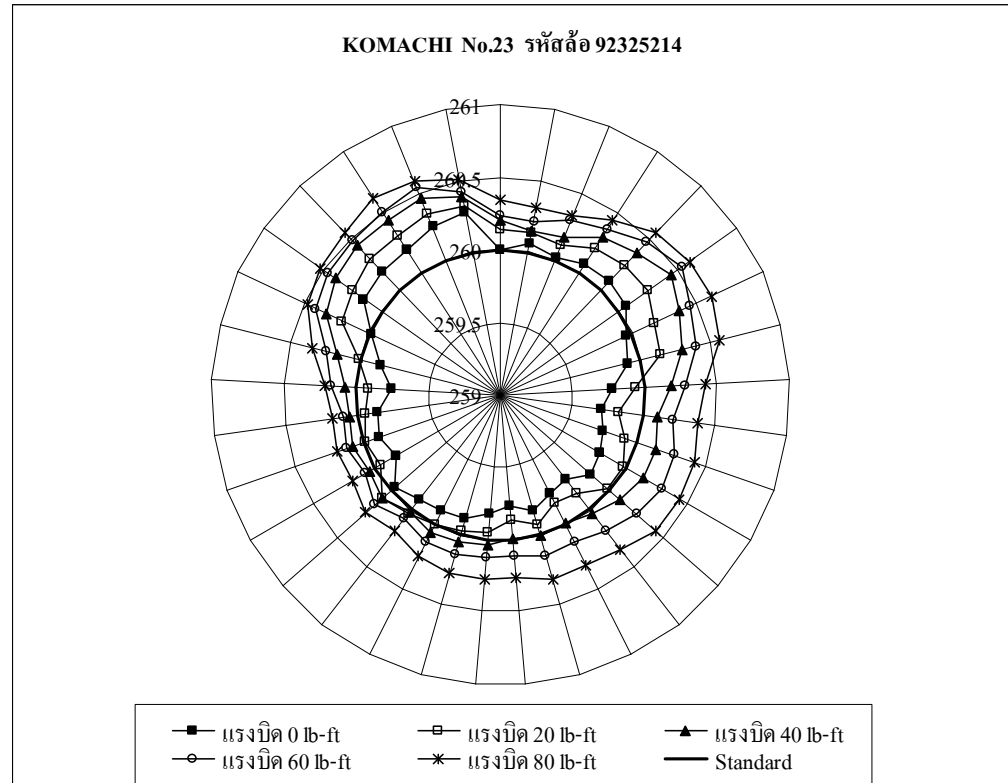
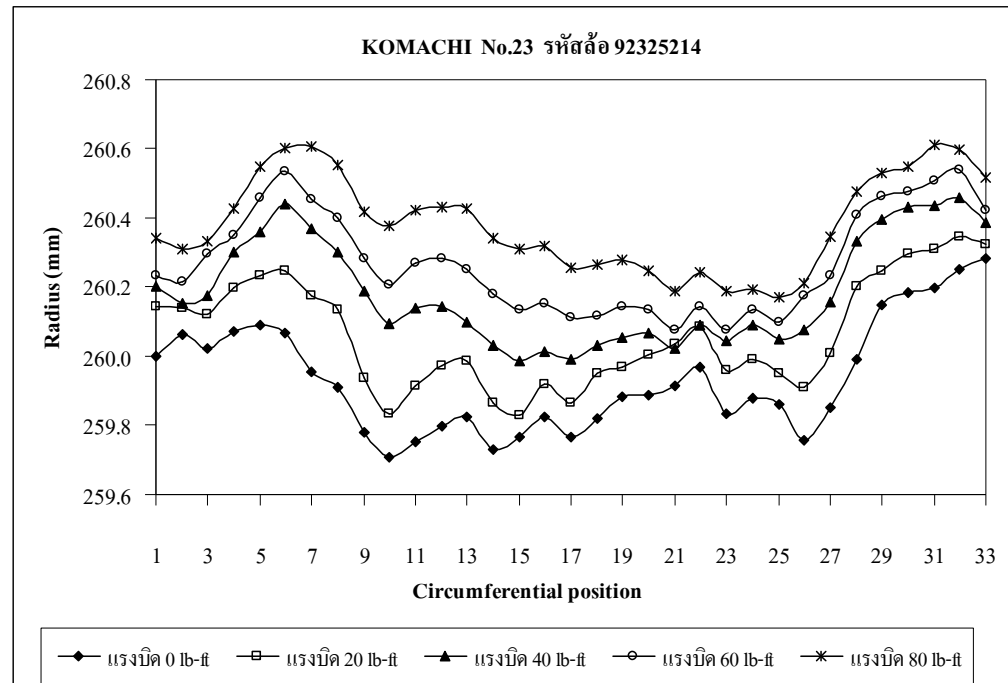
รูปที่ 5.25 ก.) ความกลมของล้อยาง Komachi 6.00-9 Rim 4 ล้อที่ 22 เป็นล้อยางมาตรฐานที่แรงบีบขันกระดาลล้อต่างๆ



รูปที่ 5.25 ว.) ความกลมของล้อยาง Komachi 6.00-9 Rim 4 ล้อที่ 22 เป็นล้อยางมาตรฐาน ที่แรงบีบ
ขันกระталล้อต่างๆ

ตารางที่ 5.24 ค่าเบี่ยงเบนความกลมของล้อยาง Komachi 6.00-9 ล้อที่ 22 เป็นล้อยางมาตรฐาน ที่
แรงบีบขันกระталล้อต่างๆ

Clamping Force	Max(mm)	Min(mm)	Avg(mm)	SD.
Not-clamping	261.334	260.000	260.858	0.3028
20 ft-lb	261.308	260.033	260.931	0.3019
40 ft-lb	261.256	260.172	260.931	0.3008
60 ft-lb	261.506	260.307	261.136	0.2849
80 ft-lb	261.502	260.463	261.146	0.2845



รูปที่ 5.26 ความคลุมของล้อยาง Komachi 6.00-9 Rim 4 ล้อที่ 23 เป็นล้อยางมาตรฐาน ที่แรงบิดขั้น
กระยะล้อต่างๆ

ตารางที่ 5.25 ค่าเบี่ยงเบนความกลมของล้อยาง Komachi 6.00-9 Rim 4 ล้อที่ 23 เป็นล้อยาง
มาตรฐานที่แรงบีบขันกระยะล้อต่างๆ

Clamping Force	Max(mm)	Min(mm)	Avg(mm)	SD.
Not-clamping	260.285	259.707	259.934	0.16017
20 ft-lb	260.348	259.830	260.064	0.15532
40 ft-lb	260.461	259.988	260.185	0.15430
60 ft-lb	260.538	260.075	260.272	0.14739
80 ft-lb	260.611	260.173	260.383	0.13944

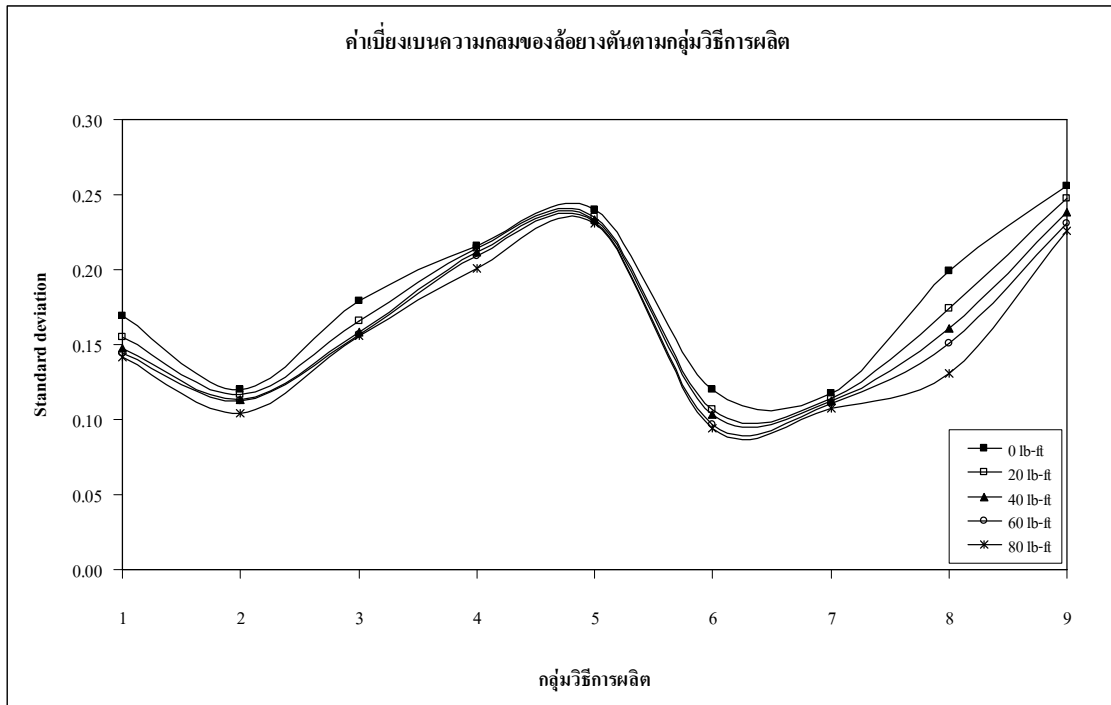
ผลจากการนำค่ารัศมีของล้อยางต้นตามเดือนรอบวันที่แรงบีบกระยะล้อต่างๆ กัน ทั้ง 23 เส้น ที่ใช้ในการทดสอบในงานวิจัยนี้ มาหาค่าเบี่ยงเบนมาตรฐาน (Standard deviation) จะได้ค่าดังแสดงในตารางที่ 5.26

ตารางที่ 5.26 แสดงค่าเบี่ยงเบนมาตรฐานของรัศมีล้ออย่างต้น

ยี่ห้อ	รหัสล้อ	No.	ค่าความเบี่ยงเบนมาตรฐาน				
			0 lb-ft	20 lb-ft	40 lb-ft	60 lb-ft	80 lb-ft
Pio-tyres	47092-PPT-1511	1	0.2266	0.2207	0.2160	0.2138	0.2132
Pio-tyres	48011-PPT2-8	2	0.1768	0.1438	0.1311	0.1284	0.1209
Pio-tyres	48011-PPT2-9	3	0.1102	0.1052	0.0970	0.0920	0.0910
Pio-tyres	60221-PPT-A	4	0.1479	0.1461	0.1455	0.1444	0.1424
Pio-tyres	60221-PPT-B	5	0.1804	0.1786	0.1776	0.1770	0.1617
Pio-tyres	60221-PPT-C	6	0.1634	0.1582	0.1556	0.1545	0.1535
Pio-tyres	49023-PPT2-270	7	0.1140	0.1123	0.1088	0.1075	0.0895
Pio-tyres	0609P2-3374	8	0.3159	0.3121	0.3108	0.3091	0.3081
Pio-tyres	0609P2-3376	9	0.1257	0.1215	0.1184	0.1182	0.1175
Pio-tyres	0609P2-3378	10	0.2516	0.2487	0.2449	0.2416	0.2399
Pio-tyres	0609P2-3380	11	0.2102	0.1858	0.1712	0.1691	0.1687
BRIDGESTONE	BA3603	12	0.1021	0.0968	0.0940	0.0913	0.0904
BRIDGESTONE	BA2905 I	13	0.1290	0.1155	0.1112	0.0972	0.0935
BRIDGESTONE	BA2905 II	14	0.1298	0.1070	0.1067	0.1025	0.0986
BERGOUGNAN	951 AT 0916	15	0.1194	0.1143	0.1097	0.1080	0.1071
BERGOUGNAN	857 BV 0398	16	0.0779	0.0748	0.0731	0.0725	0.0714
BERGOUGNAN	858 BV 0172	17	0.1561	0.1545	0.1541	0.1505	0.1451
TOKAI	AUG1848101	18	0.3238	0.2446	0.2267	0.1935	0.1384
TOKAI	AUG1848039	19	0.1294	0.1208	0.1141	0.1109	0.1036
TOKAI	JUN0749251	20	0.1627	0.1570	0.1489	0.1486	0.1474
KOMACHI	9312T405	21	0.3055	0.2843	0.2589	0.2589	0.2536
KOMACHI	9312T404	22	0.3028	0.3019	0.3008	0.2849	0.2845
KOMACHI	92325214	23	0.1602	0.1553	0.1543	0.1474	0.1394

ตารางที่ 5.27 แสดงค่าเบี่ยงเบนมาตรฐานของรัศมีล้อยางตันตามกลุ่มวิธีการผลิต

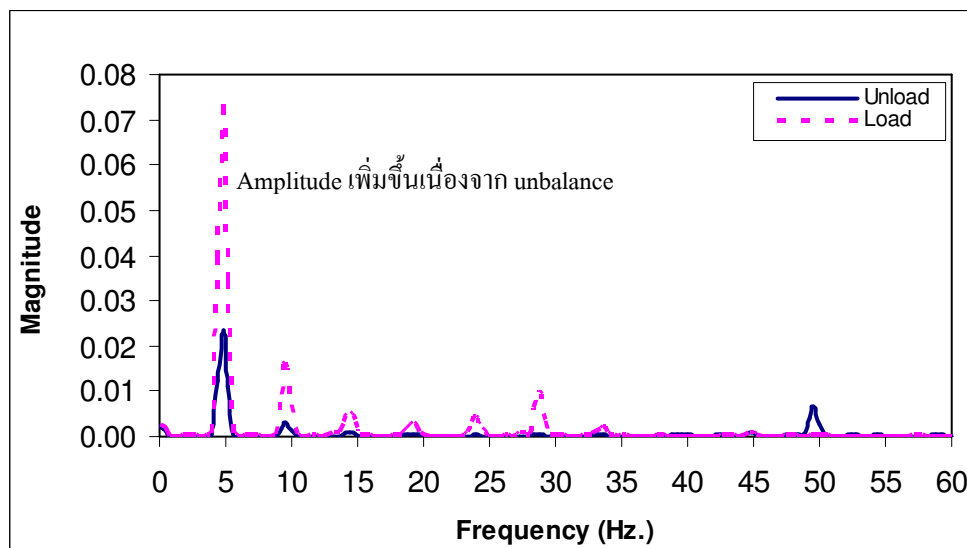
กลุ่ม	วิธีการผลิต	No. ตัวอย่าง	0 lb-ft	20 lb-ft	40 lb-ft	60 lb-ft	80 lb-ft
1	เครื่องม้วนเก่า	1,2,3	0.1693	0.1547	0.1473	0.1445	0.1416
2	เครื่องม้วนใหม่	7,9	0.1200	0.1166	0.1134	0.1128	0.1038
3	เครื่องม้วนใหม่+pre-form	4,11	0.1790	0.1661	0.1582	0.1567	0.1557
4	เครื่องม้วนใหม่+pre-cure	5,10	0.2162	0.2138	0.2113	0.2095	0.2009
5	ผลิตใหม่ไม่สมดุล	6,8	0.2397	0.2351	0.2333	0.2318	0.2307
6	ล้อมาตรฐาน(Bridgestone)	12,13,14	0.1203	0.1065	0.1037	0.0967	0.0945
7	ล้อมาตรฐาน (Bergougnan)	15,16,17	0.1177	0.1143	0.1123	0.1107	0.1077
8	ล้อมาตรฐาน(Tokai)	18,19,20	0.1993	0.1741	0.1605	0.1510	0.1307
9	ล้อมาตรฐาน(Komachi)	21,22,23	0.2560	0.2471	0.2381	0.2305	0.2258



รูปที่ 5.27 ค่าเบี่ยงเบนความกลมของล้อยางตันที่แรงขันบีบกระแทกสั่นต่างกันแบ่งตามกลุ่มผลิต

5.3 ผลการตรวจสอบสมดุลแรงเหวี่ยงรอบแกนหมุนของล้อยางตันในรูปการสั่นสะเทือน

จากการศึกษาความสมดุลแรงเหวี่ยงรอบแกนหมุนของล้อยางตันโดยตรวจวัดการเคลื่อนที่แกนเพลาของเครื่องทดสอบสมดุลแรงเหวี่ยงรอบแกนหมุน เมื่อนำค่าการสั่นสะเทือนในรูปของการเคลื่อนที่ของแกนเพลามาแสดงบนโคเมนความถี่ ในขณะที่ไม่มีล้อยางตันประกอบกับเครื่องทดสอบ (base line) และเมื่อมีล้อยางตัน ประกอบเข้ากับเครื่องทดสอบ มาแสดงผลรวมกันสามารถเขียนกราฟได้ดังรูปที่ 5.28 จะเห็นว่าค่าของ การสั่นสะเทือนจะมีค่าเพิ่มขึ้นมากที่ความถี่ 4.8 เฮิรตซ์ ซึ่งเป็นความถี่ของระบบ และเกิดขึ้นที่หนึ่งเท่าของความเร็วรอบของการหมุน ($1 \times RPM$) ค่าการสั่นสะเทือนที่เกิดขึ้นนี้สามารถวิเคราะห์ได้ว่าเกิดจาก การหมุนที่ไม่สมดุล [20, 21] อันอาจเป็นสาเหตุมาจากการล้อของล้อยางตันกระชาญ ไม่สม่ำเสมอ พื้นที่หน้าตัดของยางชั้นในไม่คงรูป ไม่สมมาตรรอบแกนหมุน สาเหตุเกิดขึ้นมาจากการบวนการผลิต ซึ่งเกิดขึ้นในขั้นตอนของการม้วนขึ้นรูปล้อยางชั้นในและชั้นนอกก่อนการอบล้อยาง รวมถึงการที่ไม่สามารถควบคุมให้ยางชั้นในมีความคงรูปและสมมาตร ได้ในขณะทำการอบล้อยางตัน ส่วนค่าการสั่นสะเทือนที่ความถี่อื่นๆ เกิดขึ้นน้อย



รูปที่ 5.28 แสดงค่าสั่นสะเทือนของแกนเพลาของเครื่องทดสอบขณะไม่มีภาระและมีภาระน้ำหนัก เมื่อมีความถี่

5.3.1 การตรวจสอบสมดุลแรงเหวี่ยงของล้อยางที่ผลิตด้วยวิธีการที่ 1 (ใช้เครื่องม้วนยางแบบเก่า)

สำหรับผลการตรวจสอบสมดุลการแรงเหวี่ยงที่ผลิตด้วยวิธีการที่ 1 ซึ่งมีทั้งหมด 3 เส้นสามารถแสดงค่า การเคลื่อนที่ของแกนเพลาของเครื่องทดสอบในรูปของการสั่นสะเทือน ดังแสดงในตารางที่ 5.28 – 5.30 นำค่าการเคลื่อนที่ของแกนเพลาของเครื่องทดสอบในรูปของการสั่นสะเทือนทั้งในแนวนอน และแนวตั้ง มาหาการกระจัด (Displacement) โดยแทนค่าในสมการ (5.1) ค่าการกระจัด (Displacement) คำนวณได้จากสมการต่อไปนี้

$$S = \sqrt{(S_x^2 + S_y^2)} \quad (5.1)$$

เมื่อ	S	การกระจัดของแกนเพลา
	S_x	ระยะการเคลื่อนที่ของแกนเพลาในแนวนอน
	S_y	ระยะการเคลื่อนที่ของแกนเพลาในแนวตั้ง

นำค่าการเคลื่อนที่ของแกนเพลาของเครื่องทดสอบในรูปของการสั่นสะเทือน มาแทนค่าในสมการ 5.1 จะได้ระยะการกระจัดของแกนเพลาของเครื่องทดสอบ (S) ดังแสดงในตารางที่ 5.28-5.30

ตารางที่ 5.28 แสดงผลการทดสอบสมดุลการแรงเหวี่ยงของล้อยาง Pio-tyres 6.00-9 Rim 4 ล้อที่ 1
เป็นล้อ ยางที่ผลิตด้วยวิธีการที่ 1

ครั้งที่	Peak to Peak(mm)			
	Sx	Sy	S	
ระยะหกต่อครั้งที่ 1	1	0.296072	0.185842	0.349565
	2	0.288786	0.185308	0.343127
	3	0.288500	0.184106	0.342239
	4	0.284418	0.182351	0.337854
	5	0.280584	0.189523	0.338595
ระยะหกต่อครั้งที่ 2	1	0.278314	0.200109	0.342786
	2	0.286039	0.197668	0.347694
	3	0.278219	0.198449	0.341742
	4	0.286535	0.194539	0.346335
	5	0.282758	0.199327	0.345953
ระยะหกต่อครั้งที่ 3	1	0.285009	0.196542	0.346207
	2	0.287050	0.192937	0.345865
	3	0.281938	0.190458	0.340240
	4	0.279058	0.195512	0.340732
	5	0.280946	0.190133	0.339237
Max	0.296072	0.200109	0.349565	
Min	0.278219	0.182351	0.337854	
Average	0.284282	0.192187	0.343211	

ตารางที่ 5.29 แสดงผลการทดสอบสมดุลการแรงเหวี่ยงของล้อยาง Pio-tyres 6.00-9 Rim 4 ล้อที่ 2
เป็นล้อยางที่ผลิตค้างไว้ก่อนการที่ 1

ครั้งที่	Peak to Peak(mm)			
	Sx	Sy	S.	
ระยะห่างล้อครั้งที่ 1	1	0.240795	0.200571	0.313386
	2	0.237458	0.210353	0.317229
	3	0.238792	0.209456	0.317637
	4	0.240624	0.213786	0.321876
	5	0.236408	0.213118	0.318290
ระยะห่างล้อครั้งที่ 2	1	0.243752	0.213080	0.323756
	2	0.239136	0.212794	0.320105
	3	0.242054	0.209132	0.319885
	4	0.234043	0.208588	0.313505
	5	0.238926	0.210620	0.318507
ระยะห่างล้อครั้งที่ 3	1	0.292200	0.279020	0.404021
	2	0.292181	0.273126	0.399959
	3	0.285925	0.273412	0.395610
	4	0.292468	0.275606	0.401866
	5	0.287966	0.279230	0.401116
Max	0.292468	0.279230	0.404021	
Min	0.234043	0.200571	0.313386	
Average	0.256182	0.232126	0.345783	

ตารางที่ 5.30 แสดงผลการทดสอบสมดุลการแรงเหวี่ยงของล้อยาง Pio-tyres 6.00-9 Rim 4 ล้อที่ 3
เป็นล้อยางที่ผลิตด้วยวิธีการที่ 1

ครั้งที่	Peak to Peak(mm)			
	Sx	Sy	S.	
ประกอบด้วยครั้งที่ 1	1	0.2353776	0.1863759	0.3002309
	2	0.2389829	0.1863759	0.3030657
	3	0.24007	0.1878441	0.3048262
	4	0.2455441	0.1853647	0.3076556
	5	0.23801	0.1843729	0.3010683
ประกอบด้วยครั้งที่ 2	1	0.2376282	0.1846206	0.3009185
	2	0.2348053	0.1867188	0.2999957
	3	0.24934	0.1907247	0.3139209
	4	0.2404706	0.1852312	0.3035403
	5	0.2367129	0.1851547	0.300525
ประกอบด้วยครั้งที่ 3	1	0.2406424	0.1922888	0.308032
	2	0.2492447	0.1943871	0.3160842
	3	0.2431218	0.1904194	0.3088167
	4	0.2483865	0.1905718	0.313071
	5	0.2450676	0.1895418	0.3098132
Max		0.24934	0.194387	0.316084
Min		0.234805	0.184373	0.299996
Average		0.24156	0.187999	0.306104

5.3.2 การตรวจสอบสมดุลแรงเหวี่ยงของล้อยางที่ผลิตด้วยวิธีการที่ 2 (ใช้เครื่องมือแบบใหม่)

สำหรับผลการตรวจสอบสมดุลการแรงเหวี่ยงที่ผลิตด้วยวิธีการที่ 2 ซึ่งมีทั้งหมด 2 เส้นสามารถแสดงค่า การเคลื่อนที่ของแกนเพลาของเครื่องทดสอบในรูปของการสั่นสะเทือน ดังแสดง

ในตารางที่ 5.31 – 5.32 นำค่าการเคลื่อนที่ของแกนเพลาของเครื่องทดสอบในรูปของการสั่นสะเทือนทั้งในแนวโน้ม และแนวตั้ง มาหาการกระจัด (Displacement) โดยแทนค่าในสมการ (5.1) จะได้ระบบการกระจัดของแกนเพลาของเครื่องทดสอบ ดังแสดงในตารางที่ 5.31-5.32

ตารางที่ 5.31 แสดงผลการทดสอบสมดุลการแรงเหวี่ยงของล้อยาง Pio-tyres 6.00-9 Rim 4 ล้อที่ 7 เป็นล้อยางที่ผลิตด้วยวิธีการที่ 2

ครั้งที่	Peak to Peak(mm)		
	Sx	Sy	S.
ประมวลผลครั้งที่ 1	1	0.2705135	0.1391482
	2	0.2654018	0.1294200
	3	0.2741000	0.1314035
	4	0.2737947	0.1516418
	5	0.2730506	0.1328153
ประมวลผลครั้งที่ 2	1	0.2753588	0.1302594
	2	0.2705524	0.1299735
	3	0.2722500	0.1263682
	4	0.2679582	0.1248806
	5	0.2759500	0.1323194
ประมวลผลครั้งที่ 3	1	0.2784488	0.1325865
	2	0.2700371	0.1238506
	3	0.2779724	0.1235265
	4	0.2785065	0.1295729
	5	0.2865371	0.1283900
Max	0.2865371	0.1516418	0.3139864
Min	0.2654018	0.1235265	0.2952755
Average	0.2740288	0.1310771	0.3038320

ตารางที่ 5.32 แสดงผลการทดสอบสมดุลการแรงเหวี่ยงของล้อยาง Pio-tyres 6.00-9 Rim 4 ล้อที่ 9
เป็นล้อยางที่ผลิตด้วยวิธีการที่ 2

ครั้งที่	Peak to Peak(mm)			
	Sx	Sy	S.	
ประกอบด้วยครั้งที่ 1	1	0.2239712	0.1541588	0.2718971
	2	0.2301129	0.1472729	0.2732056
	3	0.2265824	0.1582788	0.2763906
	4	0.2303229	0.1500388	0.2748823
	5	0.2314676	0.1512218	0.2764874
ประกอบด้วยครั้งที่ 2	1	0.2417106	0.1878824	0.3061434
	2	0.2362935	0.1865665	0.3010676
	3	0.2452012	0.1811871	0.3048809
	4	0.2408329	0.1813206	0.3014592
	5	0.2354159	0.1791271	0.2958161
ประกอบด้วยครั้งที่ 3	1	0.2250582	0.1793565	0.2877846
	2	0.2309335	0.1799282	0.2927532
	3	0.2283394	0.1830182	0.2926338
	4	0.2376859	0.1833235	0.3001701
	5	0.2290829	0.17949	0.2910252
Max		0.245201	0.187882	0.306143
Min		0.223971	0.147273	0.271897
Average		0.232867	0.172145	0.289773

5.3.3 การตรวจสอบสมดุลแรงเหวี่ยงของล้อยางที่ผลิตด้วยวิธีการที่ 3 (ใช้เครื่องม้วนยางแบบใหม่+พรีฟอร์ม)

สำหรับผลการตรวจสอบสมดุลการแรงเหวี่ยงที่ผลิตด้วยวิธีการที่ 3 ซึ่งมีทั้งหมด 2 เส้นสามารถแสดงค่าการเคลื่อนที่ของแกนเพลาของเครื่องทดสอบในรูปของการสั่นสะเทือน ดังแสดง

ในตารางที่ 5.33 – 5.34 นำค่าการเคลื่อนที่ของแกนเพลาของเครื่องทดสอบในรูปของการสั่นสะเทือนทั้งในแนวโน้ม และแนวตั้ง มาหาการกระจัด (Displacement) โดยแทนค่าในสมการ (5.1) จะได้ระบบการกระจัดของแกนเพลาของเครื่องทดสอบดังแสดงในตารางที่ 5.33 - 5.34

ตารางที่ 5.33 แสดงผลการทดสอบสมดุลการแรงเหวี่ยงของล้อยาง Pio-tyres 6.00-9 ล้อที่ 4 ที่เป็นล้อยางที่ผลิตด้วยวิธีการที่ 3

ครั้งที่	Peak to Peak(mm)		
	Sx	Sy	S.
ประมวลผลครั้งที่ 1	1	0.249340	0.203905
	2	0.253308	0.207415
	3	0.255044	0.205450
	4	0.250179	0.203028
	5	0.247395	0.202341
ประมวลผลครั้งที่ 2	1	0.232631	0.187939
	2	0.237094	0.181378
	3	0.230895	0.182389
	4	0.243160	0.181016
	5	0.238258	0.182923
ประมวลผลครั้งที่ 3	1	0.260594	0.246269
	2	0.261014	0.246689
	3	0.261147	0.249512
	4	0.272039	0.241844
	5	0.267232	0.249474
Max	0.272039	0.249512	0.365582
Min	0.230895	0.181016	0.294242
Average	0.250622	0.211438	0.328172

ตารางที่ 5.34 แสดงผลการทดสอบสมดุลการแรงเหวี่ยงของล้อยาง Pio-tyres 6.00-9 Rim 4 ล้อที่ 11 เป็นล้อยางที่ผลิตด้วยวิธีการที่ 3

ครั้งที่	Peak to Peak(mm)			
	Sx	Sy	S.	
ประกอบด้วยชุดที่ 1	1	0.201273	0.156829	0.255159
	2	0.205755	0.158928	0.259987
	3	0.200625	0.156391	0.254379
	4	0.202723	0.156467	0.256083
	5	0.200568	0.156047	0.254122
ประกอบด้วยชุดที่ 2	1	0.189315	0.139015	0.234873
	2	0.189772	0.136001	0.233473
	3	0.189105	0.135276	0.232509
	4	0.194007	0.135562	0.236677
	5	0.196468	0.134647	0.238179
ประกอบด้วยชุดที่ 3	1	0.189143	0.142945	0.237083
	2	0.192920	0.136249	0.236182
	3	0.200931	0.137909	0.243705
	4	0.201179	0.138691	0.244353
	5	0.195304	0.137394	0.238790
Max		0.205755	0.158928	0.259987
Min		0.189105	0.134647	0.232509
Average		0.196606	0.143890	0.243704

5.3.4 การตรวจสอบสมดุลแรงเหวี่ยงของล้อยางที่ผลิตด้วยวิธีการที่ 4 (ใช้เครื่องมือวัดน้ำหนัก+พรีเซียร์)

สำหรับผลการตรวจสอบสมดุลการแรงเหวี่ยงที่ผลิตด้วยวิธีการที่ 4 ซึ่งมีทั้งหมด 2 เส้นสามารถแสดงค่า การเคลื่อนที่ของแกนเพลาของเครื่องทดสอบในรูปของการสั่นสะเทือน ดังแสดง

ในตารางที่ 5.35 – 5.36 นำค่าการเคลื่อนที่ของแกนเพลาของเครื่องทดสอบในรูปของการสั่นสะเทือนทั้งในแนวโน้ม และแนวตั้ง มาหาการกระจัด (Displacement) โดยแทนค่าในสมการ (5.1) จะได้ระบบการกระจัดของแกนเพลาของเครื่องทดสอบ ดังแสดงในตารางที่ 5.35 – 5.36

ตารางที่ 5.35 แสดงผลการทดสอบสมดุลการแรงเหวี่ยงของล้อยาง Pio-tyres 6.00-9 Rim 4 ล้อที่ 5 ที่เป็นล้อยางที่ผลิตด้วยวิธีการที่ 4

ครั้งที่	Peak to Peak(mm)		
	Sx	Sy	S.
ประมวลผลครั้งที่ 1	1	0.249340	0.203905
	2	0.253308	0.207415
	3	0.255044	0.205450
	4	0.250179	0.203028
	5	0.247395	0.202341
ประมวลผลครั้งที่ 2	1	0.232631	0.187939
	2	0.237094	0.181378
	3	0.230895	0.182389
	4	0.243160	0.181016
	5	0.238258	0.182923
ประมวลผลครั้งที่ 3	1	0.260594	0.246269
	2	0.261014	0.246689
	3	0.261147	0.249512
	4	0.272039	0.241844
	5	0.267232	0.249474
Max	0.272039	0.249512	0.365582
Min	0.230895	0.181016	0.294242
Average	0.250622	0.211438	0.328172

ตารางที่ 5.36 แสดงผลการทดสอบสมดุลการแรงเหวี่ยงของล้อยาง Pio-tyres 6.00-9 Rim 4 ล้อที่ 10 เป็นล้อยางที่ผลิตด้วยวิธีการที่ 4

ครั้งที่	Peak to Peak(mm)		
	Sx	Sy	S.
ระยะรอบล้อครั้งที่ 1	1	0.23454	0.18573
	2	0.23339	0.17804
	3	0.22950	0.19198
	4	0.23708	0.16585
	5	0.24326	0.20713
ระยะรอบล้อครั้งที่ 2	1	0.24081	0.14531
	2	0.23736	0.14479
	3	0.24266	0.14641
	4	0.24173	0.14504
	5	0.24127	0.14617
ระยะรอบล้อครั้งที่ 3	1	0.22811	0.14151
	2	0.22777	0.14208
	3	0.23799	0.17151
	4	0.23187	0.13434
	5	0.23584	0.13764
Max	0.24326	0.20713	0.31949
Min	0.22777	0.13434	0.26797
Average	0.23621	0.15890	0.28525

5.3.5 การตรวจสอบความกลมของล้อยางที่ผลิตด้วยวิธีการที่ 5 (ล้อที่ตั้งใจทำใหม่ คุณภาพดี)

สำหรับผลการตรวจสอบสมดุลการแรงเหวี่ยงที่ผลิตด้วยวิธีการที่ 5 ซึ่งมีทั้งหมด 2 เส้นสามารถแสดงค่า การเคลื่อนที่ของแกนเพลาของเครื่องทดสอบในรูปของการสั่นสะเทือน ดังแสดง

ในตารางที่ 5.37 – 5.38 นำค่าการเคลื่อนที่ของแกนเพลาของเครื่องทดสอบในรูปของการสั่นสะเทือนทั้งในแนวนอน และแนวตั้งมาหาการกระจัด (Displacement) โดยแทนค่าในสมการ (5.1) จะได้ระบบการกระจัดของแกนเพลาของเครื่องทดสอบ ดังแสดงในตารางที่ 5.37 – 5.38

ตารางที่ 5.37 แสดงผลการทดสอบสมดุลการแรงเหวี่ยงของล้อยาง Pio-tyres 6.00-9 Rim 4 ล้อที่ 6 เป็นล้อยางที่ผลิตด้วยวิธีการที่ 5

ครั้งที่	Peak to Peak(mm)		
	Sx	Sy	S.
ประมวลผลครั้งที่ 1	1	0.240367	0.302996
	2	0.294565	0.305133
	3	0.298228	0.305915
	4	0.291647	0.304026
	5	0.288652	0.302901
ประมวลผลครั้งที่ 2	1	0.293478	0.294661
	2	0.291495	0.293592
	3	0.298743	0.295748
	4	0.289072	0.296587
	5	0.291571	0.293745
ประมวลผลครั้งที่ 3	1	0.291323	0.306601
	2	0.290846	0.298934
	3	0.297980	0.301642
	4	0.296454	0.299448
	5	0.289472	0.298705
Max	0.298743	0.306601	0.427228
Min	0.240367	0.293592	0.386760
Average	0.289593	0.300042	0.417145

ตารางที่ 5.38 แสดงผลการทดสอบสมดุลการแรงเหวี่ยงของล้อยาง Pio-tyres 6.00-9 Rim 4 ล้อที่ 8 เป็นล้อยางที่ผลิตค้างไว้กีการที่ 5

ครั้งที่	Peak to Peak(mm)			
	Sx	Sy	S.	
ระยะรอบล้อครั้งที่ 1	1	0.29327	0.28161	0.40659
	2	0.29830	0.28213	0.41059
	3	0.28724	0.28213	0.40262
	4	0.28922	0.28581	0.40662
	5	0.29104	0.29333	0.41321
ระยะรอบล้อครั้งที่ 2	1	0.29682	0.29252	0.41674
	2	0.29706	0.28409	0.41104
	3	0.29497	0.28837	0.41251
	4	0.29611	0.28696	0.41234
	5	0.29285	0.28882	0.41131
ระยะรอบล้อครั้งที่ 3	1	0.30429	0.28863	0.41941
	2	0.30855	0.28112	0.41741
	3	0.31288	0.28907	0.42598
	4	0.30124	0.32075	0.44003
	5	0.30551	0.28850	0.42020
Max	0.31288	0.32075	0.44003	
Min	0.28724	0.28112	0.40262	
Average	0.29796	0.28892	0.41511	

5.3.6 การตรวจสอบสมดุลแรงเหวี่ยงของล้อยางมาตรฐานยี่ห้ออินๆ
 สำหรับผลการตรวจสมดุลการแรงเหวี่ยงล้อยางมาตรฐาน ซึ่งมีทั้งหมด 12 เส้นสามารถแสดงค่า การเคลื่อนที่ของแกนเพลาของเครื่องทดสอบในรูปของการสั่นสะเทือน ดังแสดงในตารางที่ 5.39 – 5.50 นำค่าการเคลื่อนที่ของแกนเพลาในรูปของการสั่นสะเทือนทั้งในแนวอน

และแนวคิด มหาการกระจัด (Displacement) โดยแทนค่าในสมการ (5.1) จะได้รัฐการกระจัดของแกนเพลาของเครื่องทดสอบ ดังแสดงในตารางที่ 5.39 – 5.50

ตารางที่ 5.39 แสดงผลการทดสอบสมดุลการแรงเหวี่ยงของล้อยาง BRIDGESTONE 6.00-9 Rim 4 ล้อที่ 12 ซึ่งเป็นล้อยางมาตรฐาน

ครั้งที่	Peak to Peak(mm)			
	Sx	Sy	S.	
ประกอบครั้งที่ 1	1	0.260060	0.138022	0.294417
	2	0.262845	0.138442	0.297075
	3	0.260861	0.140712	0.296392
	4	0.263894	0.140288	0.298866
	5	0.263302	0.138689	0.297595
ประกอบครั้งที่ 2	1	0.248501	0.133501	0.282091
	2	0.253708	0.135809	0.287771
	3	0.255482	0.136782	0.289794
	4	0.255234	0.137755	0.290036
	5	0.263494	0.139300	0.298049
ประกอบครั้งที่ 3	1	0.252373	0.142009	0.289584
	2	0.257256	0.145499	0.295551
	3	0.256149	0.140654	0.292226
	4	0.263512	0.138442	0.297666
	5	0.253346	0.146491	0.292650
Max		0.263894	0.146491	0.298866
Min		0.248501	0.133501	0.282091
Average		0.258001	0.139493	0.293317

ตารางที่ 5.40 แสดงผลการทดสอบสมดุลการแรงเหวี่งของล้อยาง BRIDGESTONE 6.00-9 Rim 4
ล้อที่ 13 ซึ่งเป็นล้อยางมาตรฐาน

ครั้งที่	Peak to Peak(mm)		
	Sx	Sy	S.
ประกอบล้อวงที่ 1	1	0.222904	0.113588
	2	0.225689	0.118412
	3	0.220348	0.111662
	4	0.217296	0.107580
	5	0.223801	0.105711
ประกอบล้อวงที่ 2	1	0.222847	0.104566
	2	0.220005	0.101266
	3	0.228264	0.101266
	4	0.222942	0.101858
	5	0.221874	0.101667
ประกอบล้อวงที่ 3	1	0.224278	0.102888
	2	0.223228	0.105348
	3	0.227921	0.101552
	4	0.221741	0.110403
	5	0.222332	0.100026
Max	0.228264	0.118412	0.254866
Min	0.217296	0.100026	0.242192
Average	0.223031	0.105853	0.246926

ตารางที่ 5.41 แสดงผลการทดสอบสมดุลการแรงเหวี่งของล้อยาง BRIDGESTONE 6.00-9 Rim 4
ล้อที่ 14 ซึ่งเป็นล้อยางมาตรฐาน

ครั้งที่	Peak to Peak(mm)		
	Sx	Sy	S.
ประกอบล้อครั้งที่ 1	1	0.2608612	0.1438971
	2	0.26439	0.1436488
	3	0.2576182	0.1386324
	4	0.2642565	0.136
	5	0.2539559	0.1382888
ประกอบล้อครั้งที่ 2	1	0.2687576	0.1406159
	2	0.2694829	0.1367824
	3	0.2662018	0.1360765
	4	0.2634741	0.1386324
	5	0.2605747	0.1371829
ประกอบล้อครั้งที่ 3	1	0.2643706	0.1372782
	2	0.2708176	0.1404635
	3	0.2644471	0.1471206
	4	0.2657441	0.1383465
	5	0.2686435	0.1403682
Max	0.270818	0.147121	0.305077
Min	0.253956	0.136	0.289167
Average	0.26424	0.139556	0.298847

ตารางที่ 5.42 แสดงผลการทดสอบสมดุลการแรงเหวี่งของล้อยาง BERGOUGNAN 6.00-9 Rim 4
ล้อที่ 15 ซึ่งเป็นล้อยางมาตรฐาน

ครั้งที่	Peak to Peak(mm)		
	Sx	Sy	S.
ระยะขอบล้อครั้งที่ 1	1	0.296129	0.190553
	2	0.307288	0.183972
	3	0.299868	0.184659
	4	0.304999	0.186585
	5	0.310550	0.184487
ระยะขอบล้อครั้งที่ 2	1	0.302501	0.191201
	2	0.306106	0.180901
	3	0.306144	0.175732
	4	0.300898	0.176705
	5	0.307956	0.178460
ระยะขอบล้อครั้งที่ 3	1	0.304198	0.180081
	2	0.306144	0.181607
	3	0.304103	0.178479
	4	0.302825	0.174759
	5	0.306258	0.180062
Max	0.310550	0.191201	0.361216
Min	0.296129	0.174759	0.348947
Average	0.304398	0.181883	0.354632

ตารางที่ 5.43 แสดงผลการทดสอบสมดุลการแรงเหวี่ยงของล้อยาง BERGOUGNAN 6.00-9 Rim 4
ล้อที่ 16 ซึ่งเป็นล้อยางมาตรฐาน

ครั้งที่	Peak to Peak(mm)		
	Sx	Sy	S.
ระยะขอบล้อครั้งที่ 1	1	0.263398	0.177983
	2	0.259659	0.175408
	3	0.263035	0.181073
	4	0.262406	0.180024
	5	0.265592	0.183171
ระยะขอบล้อครั้งที่ 2	1	0.250695	0.125509
	2	0.244954	0.129725
	3	0.244529	0.127379
	4	0.245392	0.129401
	5	0.248769	0.133006
ระยะขอบล้อครั้งที่ 3	1	0.240967	0.130679
	2	0.242531	0.128218
	3	0.239289	0.127055
	4	0.245316	0.124918
	5	0.243619	0.126063
Max	0.265592	0.183171	0.322631
Min	0.239289	0.124918	0.270928
Average	0.250677	0.145307	0.290213

ตารางที่ 5.44 แสดงผลการทดสอบสมดุลการแรงเหวี่ยงของล้อยาง BERGOUGNAN 6.00-9 Rim 4
ล้อที่ 17 ซึ่งเป็นล้อยางมาตรฐาน

ครั้งที่	Peak to Peak(mm)		
	Sx	Sy	S.
ระยะขอบล้อครั้งที่ 1	1	0.244152	0.218211
	2	0.252011	0.218764
	3	0.248692	0.217085
	4	0.240509	0.218459
	5	0.244038	0.219851
ระยะขอบล้อครั้งที่ 2	1	0.261185	0.220137
	2	0.311752	0.224524
	3	0.263703	0.219069
	4	0.253308	0.221739
	5	0.263799	0.225345
ระยะขอบล้อครั้งที่ 3	1	0.255082	0.218325
	2	0.256150	0.215006
	3	0.255005	0.218039
	4	0.256646	0.222579
	5	0.256417	0.222674
Max	0.311752	0.225345	0.384188
Min	0.240509	0.215006	0.324913
Average	0.257496	0.219987	0.338791

ตารางที่ 5.45 แสดงผลการทดสอบสมดุลการแรงเหวี่ยงของล้อยาง TOKAI 6.00-9 Rim 4 ล้อที่ 18
ซึ่งเป็นล้อยางมาตรฐาน

ครั้งที่	Peak to Peak(mm)		
	Sx	Sy	S.
ประกอบด้วย 1	1	0.313850	0.177544
	2	0.316368	0.167358
	3	0.319744	0.167625
	4	0.315948	0.169419
	5	0.321003	0.172985
ประกอบด้วย 2	1	0.319591	0.179795
	2	0.318695	0.183744
	3	0.321251	0.181111
	4	0.318199	0.173291
	5	0.318561	0.175675
ประกอบด้วย 3	1	0.316883	0.174187
	2	0.317684	0.173710
	3	0.320755	0.176953
	4	0.319706	0.177144
	5	0.320335	0.172756
Max	0.321251	0.183744	0.368786
Min	0.313850	0.167358	0.357907
Average	0.318571	0.174886	0.363439

ตารางที่ 5.46 แสดงผลการทดสอบสมดุลการแรงเหวี่งของล้อยาง TOKAI 6.00-9 Rim 4 ล้อที่ 19
ซึ่งเป็นล้อยางมาตรฐาน

ครั้งที่	Peak to Peak(mm)		
	Sx	Sy	S.
ระยะขอบล้อครั้งที่ 1	1	0.248367	0.199766
	2	0.263951	0.204325
	3	0.262158	0.201349
	4	0.254891	0.197706
	5	0.258820	0.211001
ระยะขอบล้อครั้งที่ 2	1	0.343301	0.242912
	2	0.330884	0.219469
	3	0.336682	0.222502
	4	0.341164	0.221549
	5	0.336224	0.223799
ระยะขอบล้อครั้งที่ 3	1	0.336510	0.218840
	2	0.340554	0.222922
	3	0.334298	0.214510
	4	0.337044	0.218039
	5	0.343758	0.224982
Max	0.343758	0.242912	0.420549
Min	0.248367	0.197706	0.318736
Average	0.311240	0.216245	0.379290

ตารางที่ 5.47 แสดงผลการทดสอบสมดุลการแรงเหวี่ยงของล้อยาง TOKAI 6.00-9 Rim 4 ล้อที่ 20
ซึ่งเป็นล้อยางมาตรฐาน

ครั้งที่	Peak to Peak(mm)			
	Sx	Sy	S.	
ประกอบด้วย 1	1	0.261185	0.148551	0.300475
	2	0.260499	0.157554	0.304439
	3	0.266393	0.155685	0.308550
	4	0.272287	0.157478	0.314547
	5	0.267442	0.155742	0.309485
ประกอบด้วย 2	1	0.267652	0.154388	0.308987
	2	0.268301	0.148666	0.306736
	3	0.264638	0.147216	0.302830
	4	0.264485	0.149257	0.303694
	5	0.276025	0.150573	0.314424
ประกอบด้วย 3	1	0.278524	0.166996	0.324751
	2	0.281557	0.166099	0.326900
	3	0.282415	0.167263	0.328231
	4	0.277246	0.163906	0.322073
	5	0.277838	0.166386	0.323849
Max	0.282415	0.167263	0.328231	
Min	0.260499	0.147216	0.300475	
Average	0.271099	0.157051	0.313331	

ตารางที่ 5.48 แสดงผลการทดสอบสมดุลการแรงเหวี่ยงของล้อยาง KOMACHI 6.00-9 Rim 4 ล้อที่
21 ซึ่งเป็นล้อยางมาตรฐาน

ครั้งที่	Peak to Peak(mm)		
	Sx	Sy	S.
ระยะหกต่อครั้งที่ 1	1	0.3288806	0.2226935
	2	0.3194771	0.2173141
	3	0.3284035	0.2138806
	4	0.3286882	0.2173718
	5	0.3261529	0.2155976
ระยะหกต่อครั้งที่ 2	1	0.3219376	0.2103329
	2	0.3214794	0.2131753
	3	0.32003	0.2171041
	4	0.3226812	0.2118588
	5	0.3287471	0.2112676
ระยะหกต่อครั้งที่ 3	1	0.3226812	0.2159412
	2	0.3258288	0.2147965
	3	0.3273735	0.2166659
	4	0.3238447	0.2145482
	5	0.3278694	0.2154829
Max	0.328881	0.222694	0.397184
Min	0.319477	0.210333	0.384557
Average	0.324938	0.215202	0.389749

ตารางที่ 5.49 แสดงผลการทดสอบสมดุลการแรงเหวี่ยงของล้อยาง KOMACHI 6.00-9 Rim 4 ล้อที่ 22 ซึ่งเป็นล้อยางมาตรฐาน

ครั้งที่	Peak to Peak(mm)			
	Sx	Sy	S.	
ระยะขอบล้อครั้งที่ 1	1	0.327223	0.297695	0.442377
	2	0.318411	0.285068	0.427375
	3	0.323541	0.297276	0.439377
	4	0.321062	0.287853	0.431208
	5	0.317266	0.289074	0.429210
ระยะขอบล้อครั้งที่ 2	1	0.333859	0.309596	0.455315
	2	0.341202	0.323596	0.470249
	3	0.339333	0.324359	0.469421
	4	0.345475	0.323788	0.473489
	5	0.342214	0.319000	0.467837
ระยะขอบล้อครั้งที่ 3	1	0.350511	0.328155	0.480150
	2	0.343701	0.325218	0.473178
	3	0.346544	0.331226	0.479378
	4	0.351502	0.333306	0.484403
	5	0.346181	0.330063	0.478312
Max	0.351502	0.333306	0.484403	
Min	0.317266	0.285068	0.427375	
Average	0.336535	0.313685	0.460085	

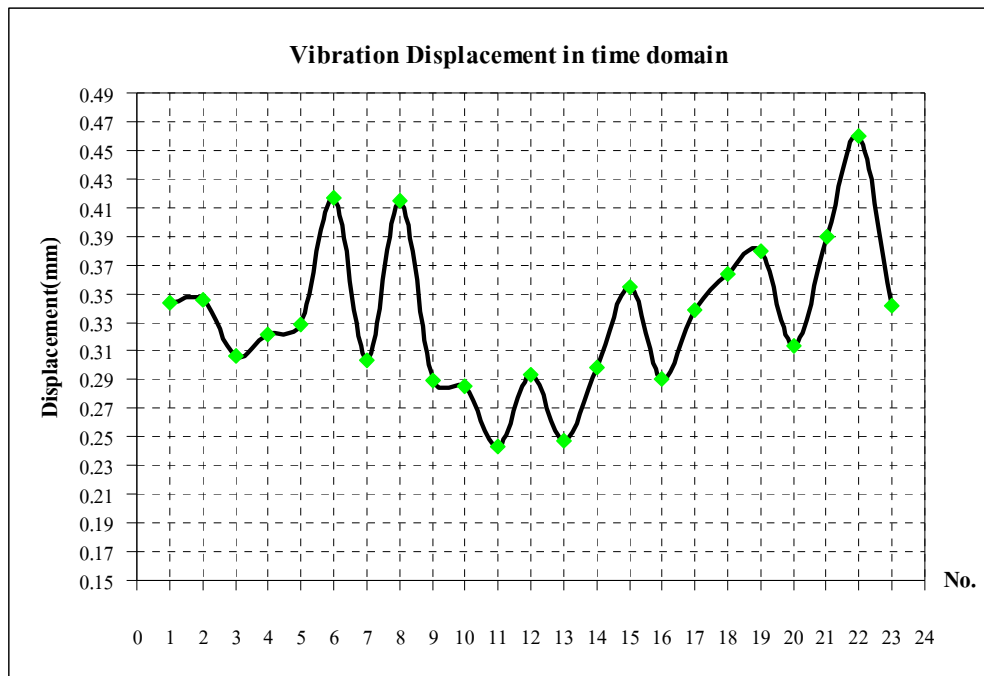
ตารางที่ 5.50 แสดงผลการทดสอบสมดุลการแรงเหวี่งของล้อยาง KOMACHI 6.00-9 Rim 4 ล้อที่ 23 ซึ่งเป็นล้อยางมาตรฐาน

ครั้งที่	Peak to Peak(mm)		
	Sx	Sy	S.
ระยะหกต่อครั้งที่ 1	1	0.241062	0.196695
	2	0.253613	0.191850
	3	0.251228	0.194368
	4	0.253288	0.192804
	5	0.255749	0.192422
ระยะหกต่อครั้งที่ 2	1	0.276598	0.227652
	2	0.276598	0.228835
	3	0.271199	0.228186
	4	0.269216	0.221625
	5	0.267575	0.223609
ระยะหกต่อครั้งที่ 3	1	0.264791	0.223246
	2	0.277818	0.227424
	3	0.276655	0.227919
	4	0.274881	0.228530
	5	0.271886	0.223685
Max	0.277818	0.228835	0.359033
Min	0.241062	0.191850	0.311126
Average	0.265477	0.215257	0.341838

ตารางที่ 5.51 ค่าการเคลื่อนที่ของแกนเพลาของเครื่องทดสอบในรูปของการสั่นสะเทือนของล้อยางตัน

Code	Average		
	S_x (mm)	S_y (mm)	S (mm)
No.1	0.28428192	0.19218694	0.3432114
No.2	0.25618184	0.23212612	0.3457832
No.3	0.24156031	0.18799949	0.3061043
No.4	0.28834965	0.14171161	0.3213505
No.5	0.25062192	0.21143796	0.3281722
No.6	0.28959284	0.30004231	0.4171446
No.7	0.27402878	0.13107710	0.3038320
No.8	0.26419913	0.19309242	0.4151062
No.9	0.23286741	0.17214475	0.2897731
No.10	0.23621200	0.15890306	0.2852497
No.11	0.19660584	0.14389016	0.2437036
No.12	0.25800114	0.13949306	0.2933174
No.13	0.22303125	0.10585290	0.2469265
No.14	0.26423973	0.13955561	0.2988473
No.15	0.30439780	0.18188294	0.3546325
No.16	0.25067678	0.14530737	0.2902125
No.17	0.25749647	0.21998722	0.3387915
No.18	0.31857145	0.17488647	0.3634391
No.19	0.31124035	0.21624478	0.3792896
No.20	0.27109918	0.15705075	0.3133312
No.21	0.32493835	0.21520208	0.3897489
No.22	0.33653490	0.31368494	0.4600851
No.23	0.26547710	0.21525675	0.3418382

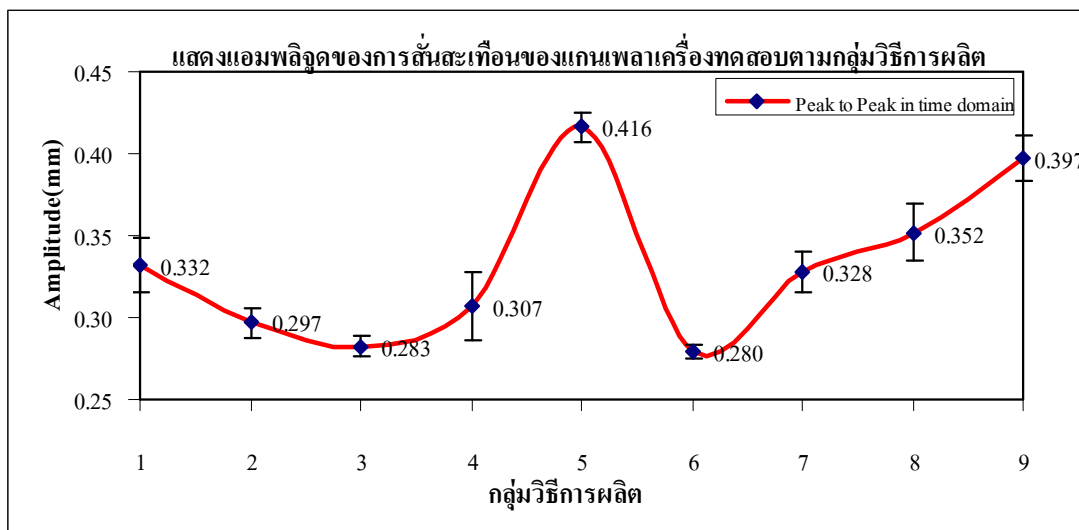
นำค่าการกระชับเฉลี่ยของแต่ละล้อจากตารางที่ 5.51 มาพเลือกกราฟดังแสดงในรูปที่ 5.29



รูปที่ 5.29 แสดงผลค่าการกระจัดการเคลื่อนที่แกนเพลาของเครื่องทดสอบในรูปแบบของการสั่นสะเทือน (Vibration Displacement) ของล้อยางตันตามหมายเลขล้ออ้างอิงจากตารางที่ 4.5

ตารางที่ 5.52 ค่าการเคลื่อนที่ของแกนเพลาของเครื่องทดสอบในรูปการสั่นสะเทือนของล้อยางตันตามกลุ่มวิธีการผลิต

กลุ่ม	วิธีการผลิต	No.ล้อ	S(mm)	SD.
1	เครื่องม้วนแบบเก่า	1,2,3	0.3317	0.0164
2	เครื่องม้วนแบบใหม่	7,9	0.2968	0.0089
3	เครื่องม้วนแบบใหม่+pre-form	4,11	0.2825	0.0065
4	เครื่องม้วนแบบใหม่+pre-cure	5,10	0.30671	0.0205
5	ผลิตใหม่สมดุล	6,8	0.4161	0.0093
6	ล้อมาตรฐาน (Bridgestone)	12,13,14	0.2797	0.0042
7	ล้อมาตรฐาน (Bergougnan)	15,16,17	0.3279	0.0127
8	ล้อมาตรฐาน (Tokai)	18,19,20	0.3520	0.0170
9	ล้อมาตรฐาน (Komachi)	21,22,23	0.3972	0.0143



รูปที่ 5.30 แสดงผลค่าการกระจายการเคลื่อนที่แกนเพลาของเครื่องทดสอบตามกลุ่มวิธีการผลิต สะท้อนของล้อยางตันตามกลุ่มวิธีการผลิต

5.4 ผลการตรวจสอบหน้าตัดยางชั้นในของล้อยางตัน

การตรวจสอบหน้าตัดยางชั้นในของล้อยางตัน มีวัตถุประสงค์หลักเพื่อตรวจสอบ ความคงรูปและสมมาตรของหน้าตัดยางชั้นใน ของล้อยางตันแต่ละวิธีการผลิต โดยในหัวข้อนี้จะ นำล้อยางตันที่ได้มีการผลิตจริง ในสายการผลิตของโรงงานและผ่านการทดสอบความกลม การทดสอบสมดุลการหมุนแล้วรวมไปถึงล้อยางตันมาตรฐาน ในแต่ละวิธีการผลิตจะเลือกล้อยาง ตันเพียงบ้างล้อมาตัดเพื่อตรวจสอบ ดังแสดงรายละเอียดในตารางที่ 5.53

ตารางที่ 5.53 รายการของล้อยางตันที่ตัดตรวจสอบหน้าตัดยางชั้นใน

กสุ่ม	ยี่ห้อ	วิธีการผลิต	หมายเลขล้อที่เลือกตัด
1	Pio-tyres	เครื่องม้วนแบบเก่า	3
2	Pio-tyres	เครื่องม้วนแบบใหม่	9
3	Pio-tyres	เครื่องม้วนแบบใหม่+พรีฟอร์ม	4,11
4	Pio-tyres	เครื่องม้วนแบบใหม่+พรีเคียว	5,10
5	Pio-tyres	ผลิตใหม่สมดุล	6,8
6	Bridgestone	ล้อมาตรฐาน	13

5.4.1 ผลการตรวจสอบความสมมาตรของหน้าตัดยางชั้นใน
ผลการตรวจสอบความสมมาตรของหน้าตัดยางชั้นในของล้อยางตัน แสดงดัง
ตารางที่ 5.54

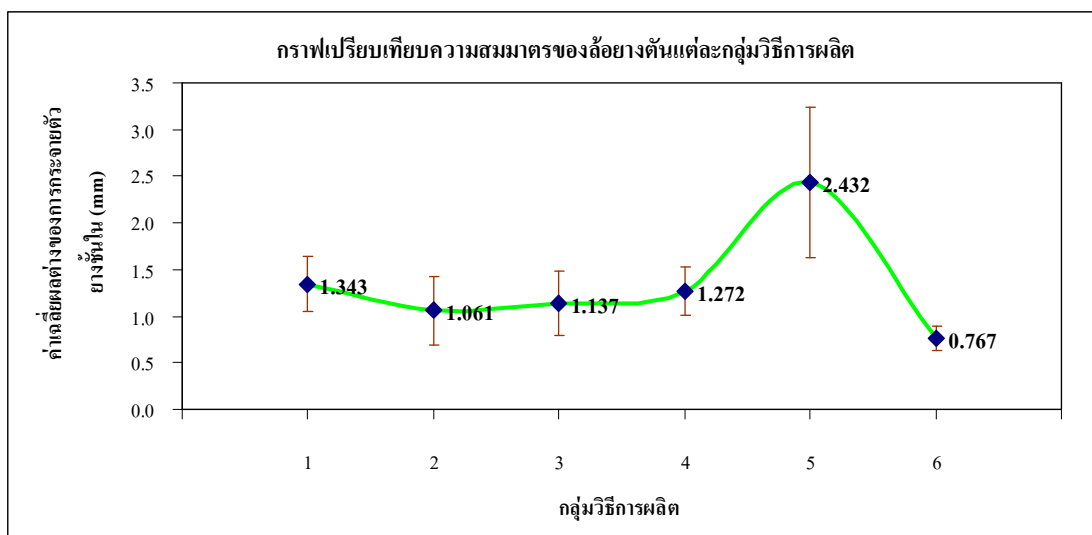
ตารางที่ 5.54 แสดงค่าเฉลี่ยผลต่างของระยะจากจุดกึ่งกลางถึงขอบยางชั้นในระหว่างด้านซ้ายและด้านขวา (อ้างอิงกลุ่มวิธีการผลิตจากตารางที่ 5.53)

กลุ่มที่ 1	No.3	หน้าตัดตำแหน่งที่	4	7	8	11	12	15	16
		ผลต่างด้านซ้ายและขวา	1.439	1.372	1.161	0.861	1.817	1.456	1.294
กลุ่มที่ 2	No.9	หน้าตัดตำแหน่งที่	1	3	5	7	10	12	15
		ผลต่างด้านซ้ายและขวา	1.506	0.878	1.028	0.594	1.567	1.139	0.717
กลุ่มที่ 3	No.4	หน้าตัดตำแหน่งที่	3	4	5	8	9	12	16
		ผลต่างด้านซ้ายและขวา	1.794	0.767	1.206	0.989	0.689	1.017	0.717
กลุ่มที่ 4	No.11	หน้าตัดตำแหน่งที่	1	2	7	9	13	14	16
		ผลต่างด้านซ้ายและขวา	1.317	1.850	1.206	1.094	0.911	1.183	1.172
กลุ่มที่ 5	No.5	หน้าตัดตำแหน่งที่	1	2	5	7	10	11	15
		ผลต่างด้านซ้ายและขวา	1.139	1.117	1.172	1.000	1.089	0.972	1.144
กลุ่มที่ 5	No.10	หน้าตัดตำแหน่งที่	5	9	10	11	12	14	15
		ผลต่างด้านซ้ายและขวา	1.678	0.594	1.194	1.611	1.461	1.750	1.883
กลุ่มที่ 5	No.6	หน้าตัดตำแหน่งที่	2	6	9	10	13	14	16
		ผลต่างด้านซ้ายและขวา	1.54	1.43	2.98	2.76	2.57	3.59	3.73
กลุ่มที่ 6	No.8	หน้าตัดตำแหน่งที่	3	7	9	11	13	14	16
		ผลต่างด้านซ้ายและขวา	3.194	1.517	1.150	2.411	2.350	2.761	2.072
กลุ่มที่ 6	No.13	หน้าตัดตำแหน่งที่	1	2	6	7	9	10	14
		ผลต่างด้านซ้ายและขวา	0.694	0.639	0.994	0.861	0.639	0.722	0.817

ผลการตรวจสอบหน้าตัดของยางชั้นในของล้อยางตันในตารางที่ 5.54 นำมาหาค่าเฉลี่ยตามวิธีการผลิตดังแสดงผลในตารางที่ 5.55 และนำค่าในตารางที่ 5.55 มาเขียนกราฟ แสดงในรูปที่ 5.31

ตารางที่ 5.55 แสดงค่าเฉลี่ยของผลต่างและค่าเบี่ยงเบนมาตรฐานของล้อยางตันตามกลุ่มวิธีการผลิต

วิธีการที่	ค่าเฉลี่ยผลต่าง	ค่าเบี่ยงเบนมาตรฐาน
1	1.343	0.293
2	1.061	0.372
3	1.137	0.340
4	1.272	0.257
5	2.432	0.803
6	0.767	0.131



รูปที่ 5.31 แสดงผลการตรวจสอบความสมมาตรของหน้าตัดยางชั้นในของแต่ละวิธีการผลิต